

Přednáška 10 (10.12.2007)

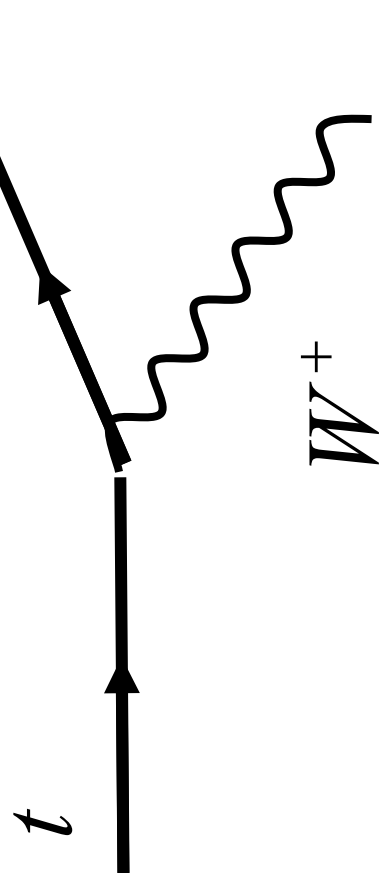
- Kvark t.
- Leptony.
- Oscilace neutrin.

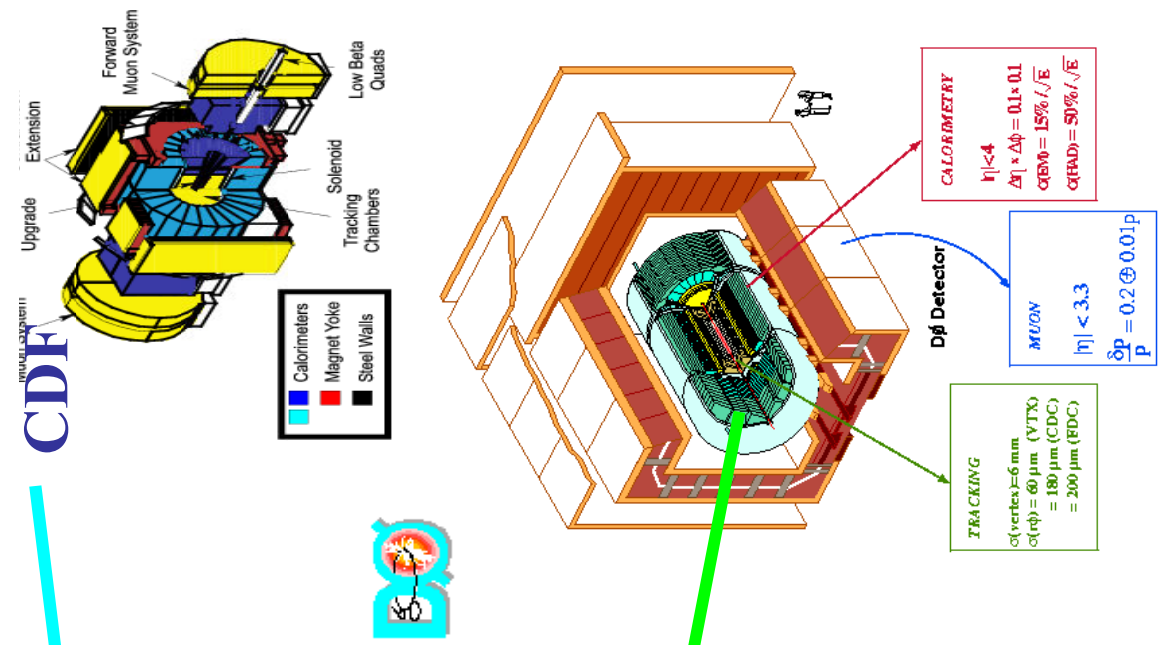
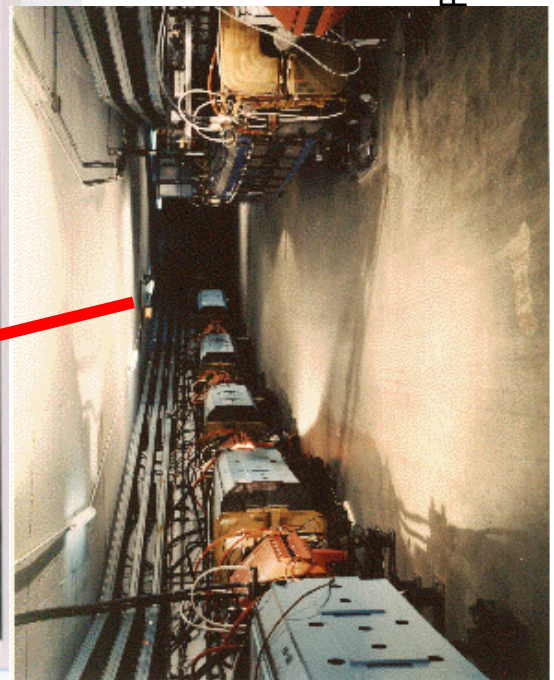
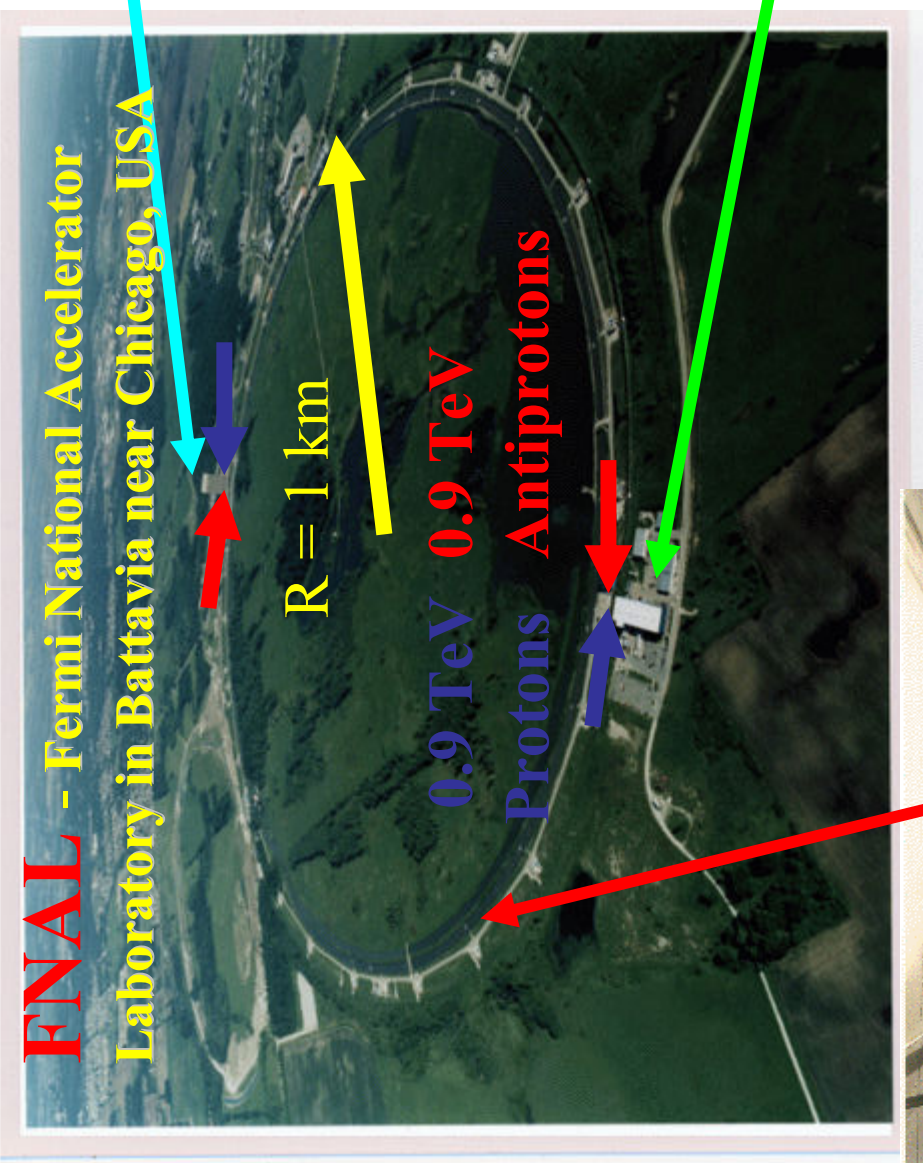
Top kvark

Byl objeven v experimentech na urychlovači TEVATRON ve FNAL (Fermi National Accelerator Laboratory) v mědtečku Batavia, nedaleko Chicaga v USA

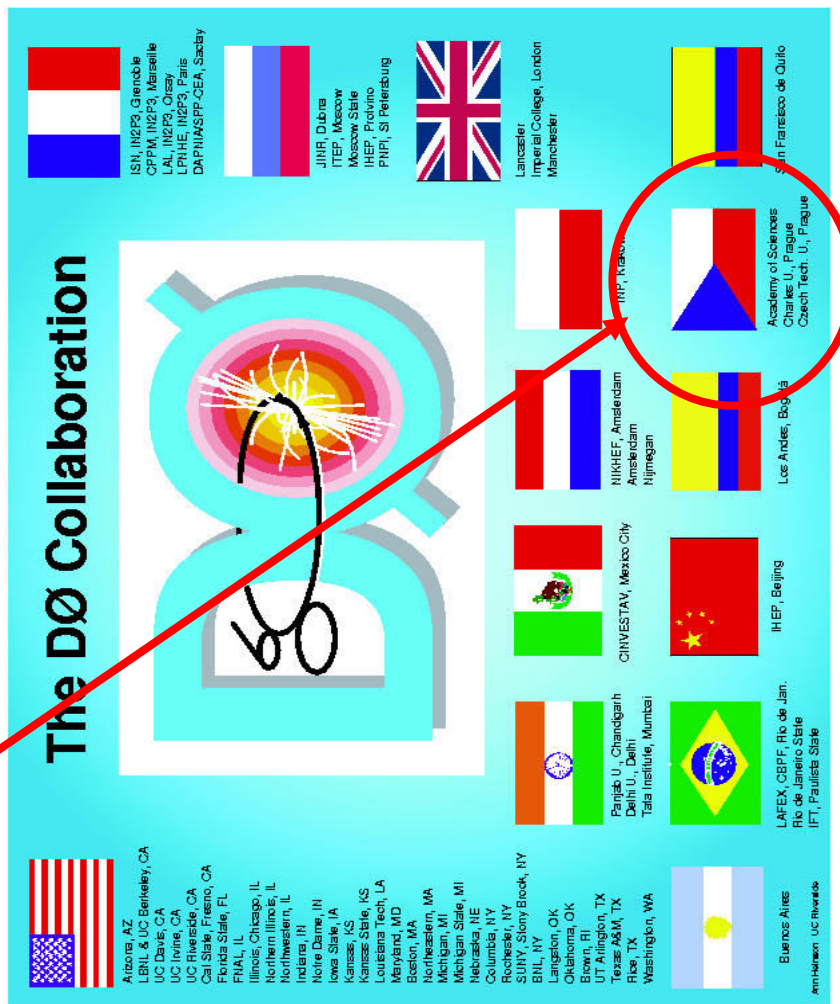
Top je těžší než W boson a okamžitě se na něj rozpadá, tj. neexistují barzony a mezony obsahující top kvark.

$$m_t = 172 \text{GeV} > m_W = 80 \text{GeV}$$

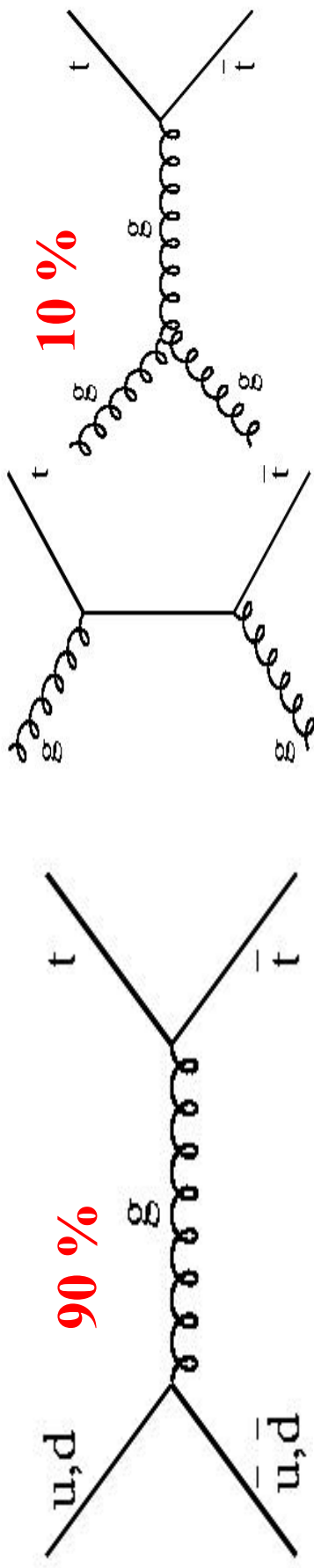




DO



Produkce a vlastnosti top kvarku



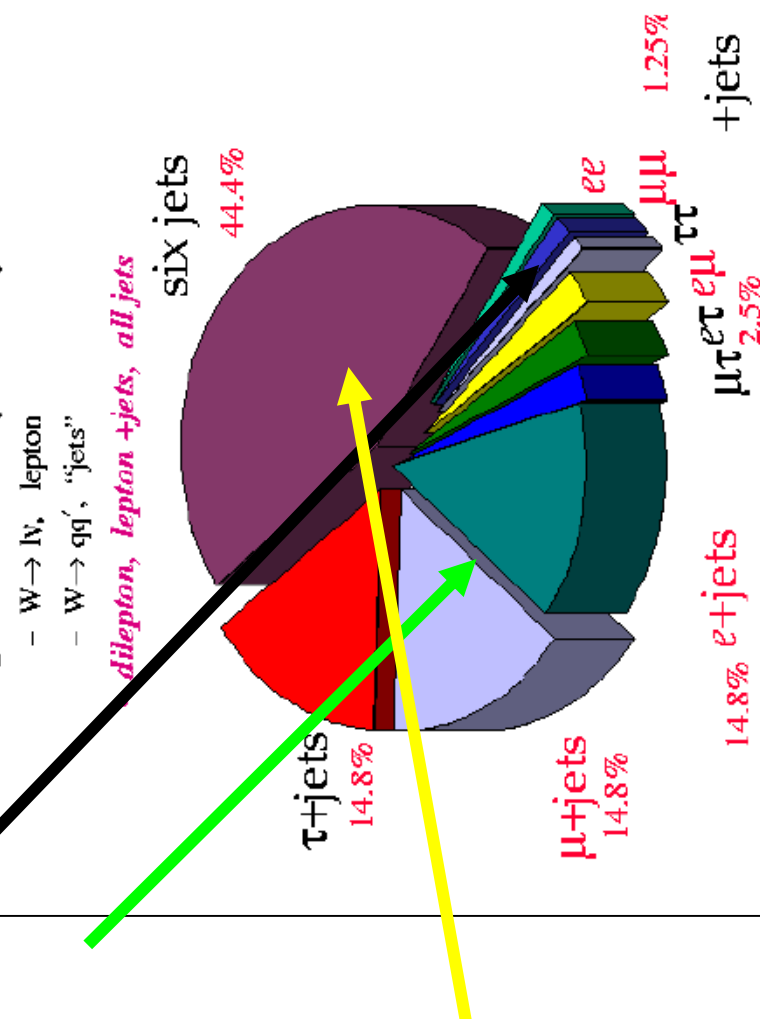
Top kvark je produkován zejména v párech silnou interakcí kvarků a gluonů a rozpadá se na **intermediální boson W a b kvark**.

- **kvark je mnohem těžší než W boson** a rozpadá se velmi rychle na b kvark a W boson.
- **Má velmi krátkou dobu života (ct = 0.15 fm, 1 fm je přibližně rozměr protonu)**, stejná charakteristika pro s kvarky je cm až m , pro c kvark asi 100 mikrometrů a b kvark 300 mikrometrů.
- **Doba života top kvarku je kratší než doba potřebná k formování vázaného stavu s jiným kvarkem**, tj. s největší pravděpodobností neexistují T-mesony nebo baryony (tj. částice obsahující top kvark).

Možné koncové stavby t-anti t páru



- At the Tevatron, top quarks are mainly pair-produced via $q\bar{q} \rightarrow t\bar{t}$ ($\approx 90\%$) and $gg \rightarrow t\bar{t}$ ($\approx 10\%$)
- Assuming standard model couplings,
 - » $BR(t \rightarrow W b) = 100\%$
 - » Categorize Channels by W Decay Mode
 - $W \rightarrow l\nu$, lepton
 - $W \rightarrow q\bar{q}'$, "jets"
 - $dilepton, lepton+jets, all jets$

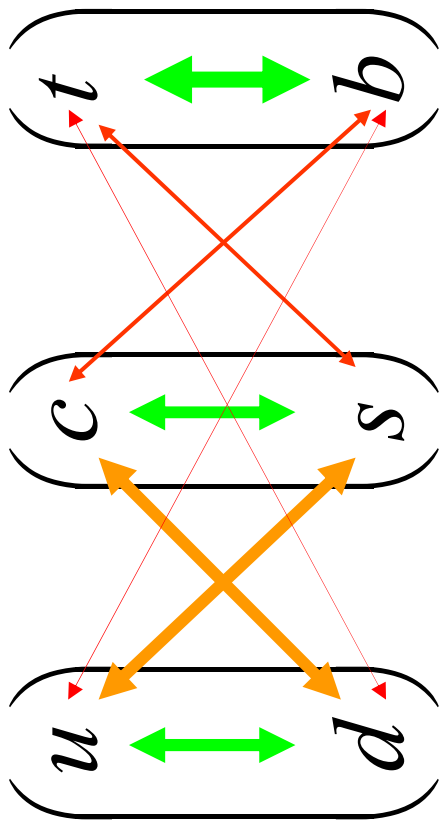


Leptony

$$\left(\begin{array}{c} \nu_e \\ \nu_\mu \\ \nu_\tau \end{array} \right) \left(\begin{array}{c} e^- \\ \mu^- \\ \tau^- \end{array} \right)$$

a jejich antičástice.

Slabé interakce mohou měnit vůni kvarků, dokonce mezi jednotlivými pokoleními (rodinami)

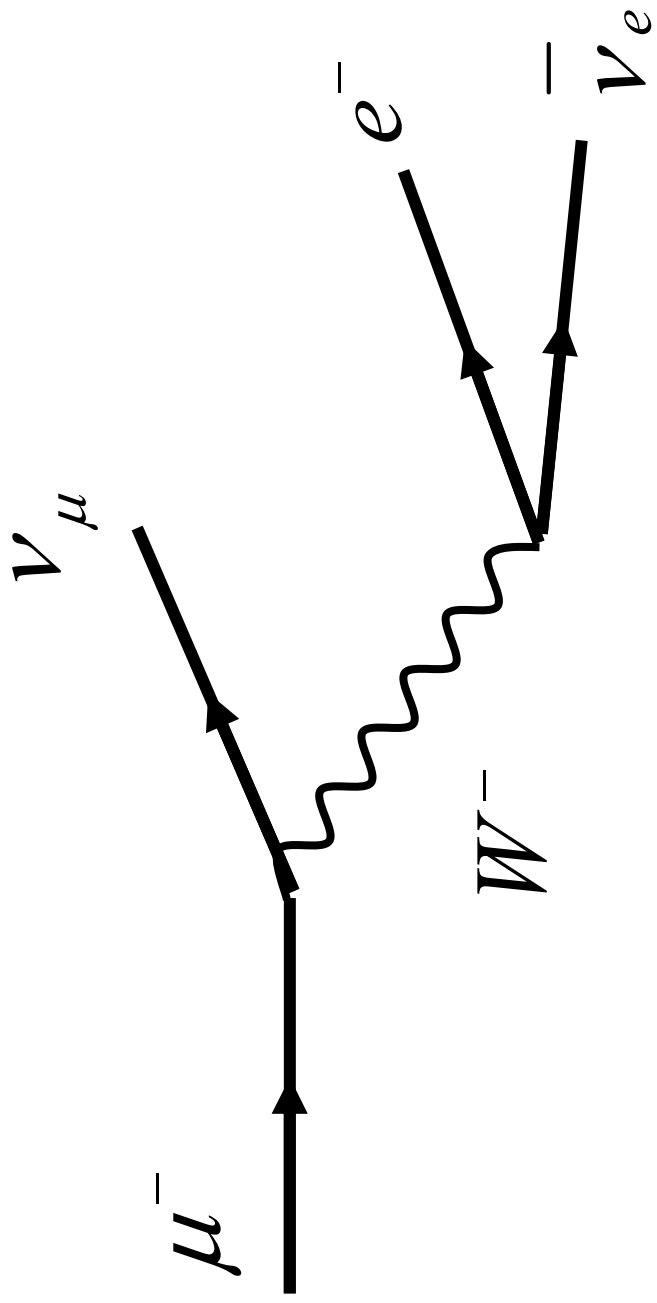


Slabé interakce mohou měnit typ leptonů pouze v rámci daného pokolení (rodiny)

$$\left(\begin{array}{c} \nu_e \\ \downarrow \\ \nu_\mu \end{array} \right) \quad \left(\begin{array}{c} e^- \\ \downarrow \\ \mu^- \end{array} \right)$$

Proto se zachovává nejenom celkové leptonové číslo, ale i leptonové číslo daného typu, tj. L_e, L_μ, L_{τau}

Mion

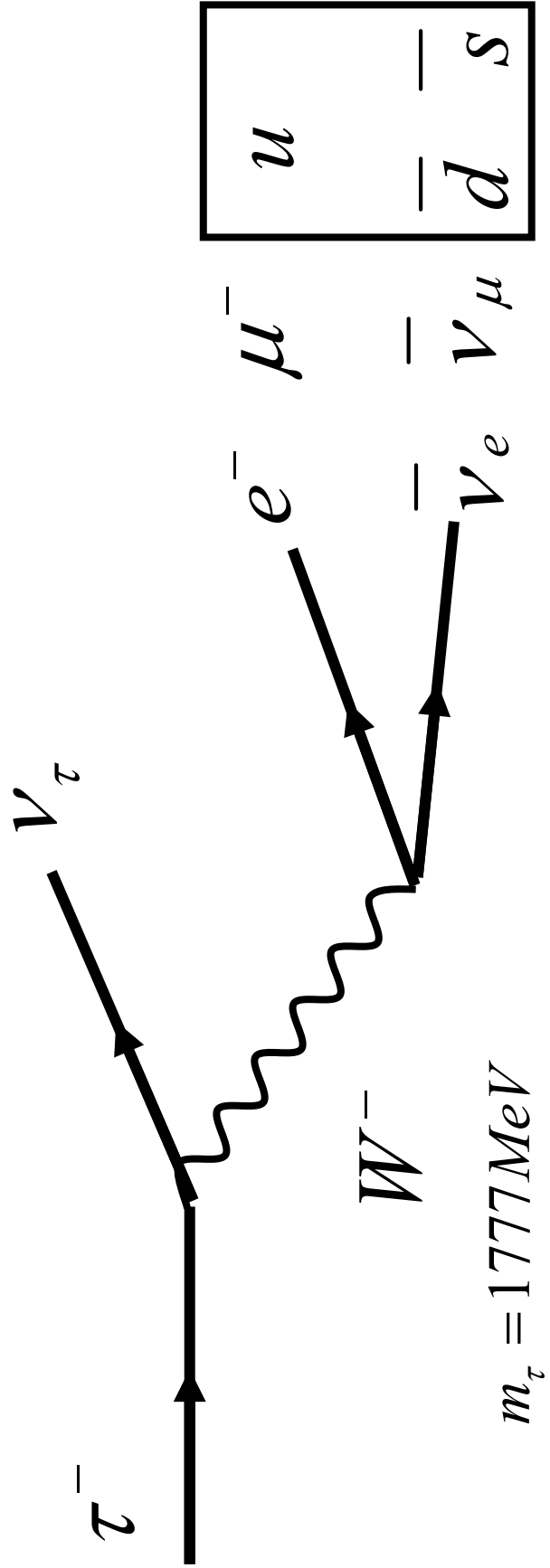


$$m_\mu = 105,66 \text{ MeV}$$

$$\mu^- \rightarrow e^- + \nu_\mu + \bar{\nu}_e$$

$$c\tau = 658,7 \text{ m} \Rightarrow \tau = 2,20 \mu\text{s}$$

Lepton tau = Tauon



$$\tau^- \rightarrow e^- + \nu_\tau + \bar{\nu}_e \quad 18\%$$

$$\tau^- \rightarrow \mu^- + \nu_\tau + \bar{\nu}_e \quad 18\%$$

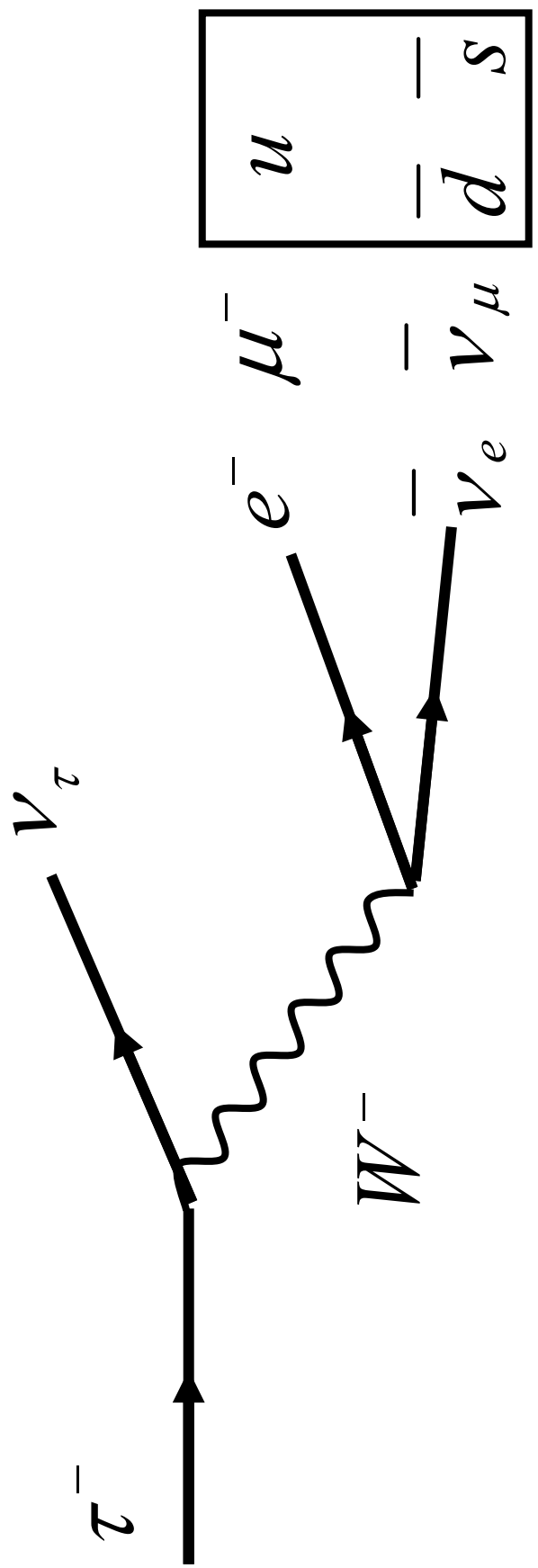
$$\tau^- \rightarrow hadron(s)^- + \nu_\tau \quad 64\%$$

$$c\tau = 87 \mu m \Rightarrow \tau = 0,000290 ns = 290 fs$$

u
 \bar{d}

π^- , K^- , ...
 s

Doba života tauonu je mnohem menší než mionu, protože doba života je nepřímo úměrná páté mocnině hmoty:



$$\Gamma[GeV] \approx G_F^2 [GeV^{-4}] \cdot M^5 [GeV^5] \Rightarrow \frac{\Gamma_{\tau \rightarrow e}}{\Gamma_{\mu \rightarrow e}} = \left(\frac{m_\tau}{m_\mu} \right)^5 = 1,3 \cdot 10^6$$

$$c\tau(\mu) = 660m \Rightarrow c\tau(\tau \rightarrow e) = 660m / 1,3 \cdot 10^6 = 508\mu m$$

$$508 \cdot 18\% = 91\mu m$$

Rozpad neutronu a beta rozpadu jader:

$$n \rightarrow p + e^- + ?$$

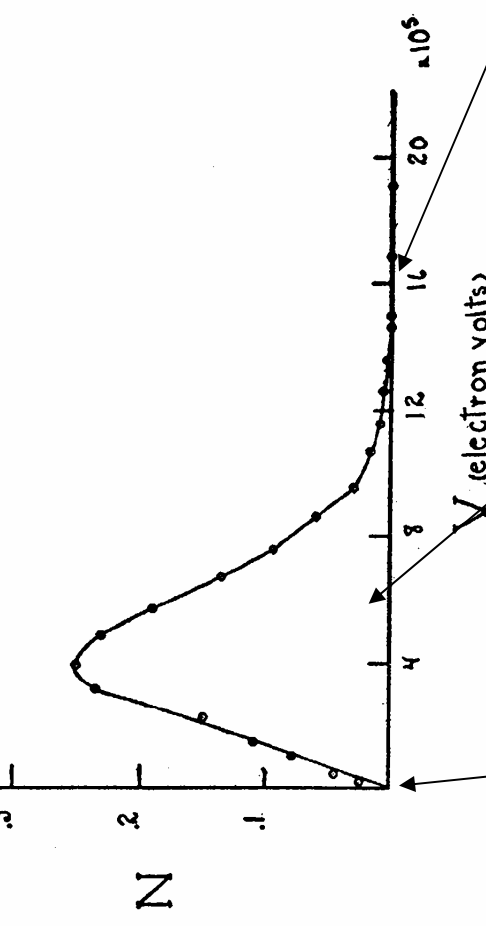
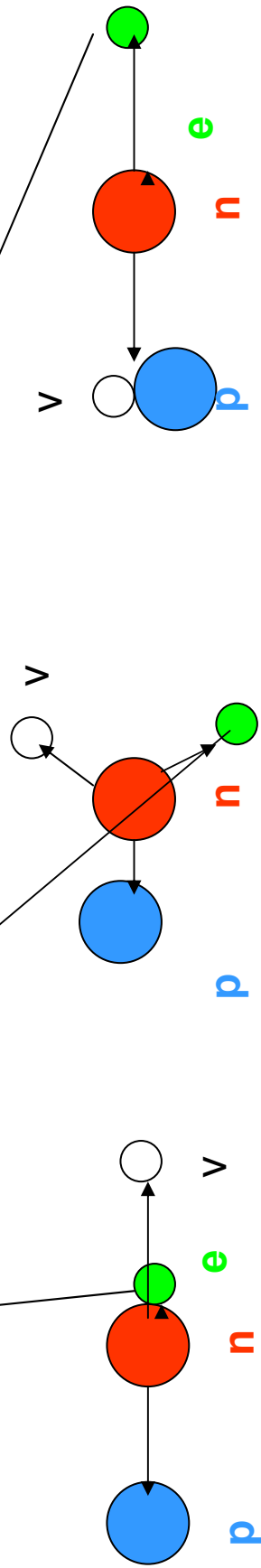


FIG. 5. Energy distribution curve of the beta-rays.



Bohr: At the present stage of atomic theory, however, we may say that we have no argument, either empirical or theoretical, for upholding the energy principle in the case of beta-ray disintegrations

Předpovězení neutrina W. Pauli 1930

W. Pauli - Physikalisch-Technische Reichsanstalt
Abdruckblatt/15.12.30

Ottener Brief an die Gruppe der Radikalisten bei der
Gesellschafts-Freizeit zu Tübingen.

Abdruckblatt:

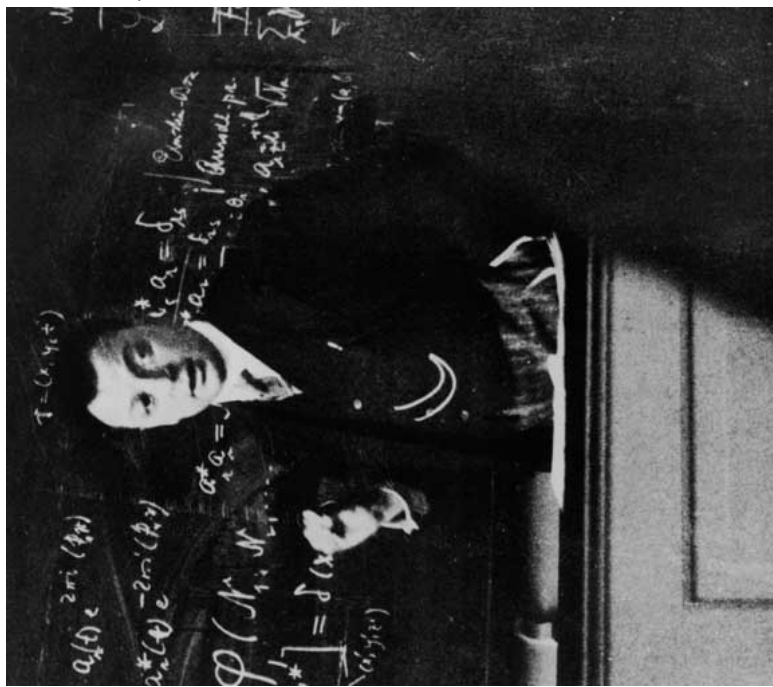
Physikalisch-Technische Institut
der Eidg. Technischen Hochschule
Zürich

Zürich, 4. Dez. 1930
Uferstrasse 6

Liebe Radikalisten Damen und Herren;

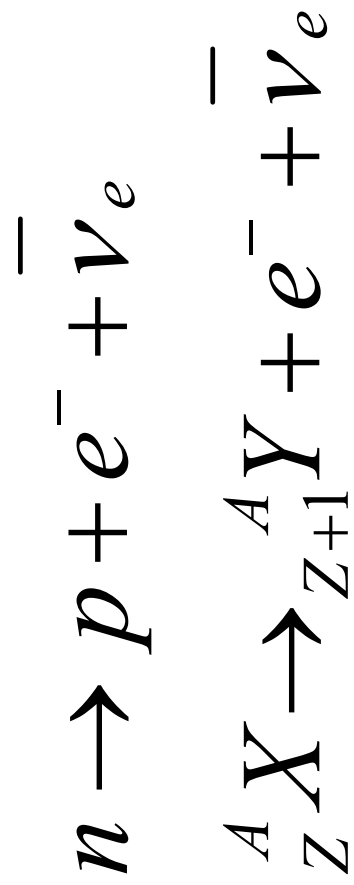
Wie der Verantwortlicher dieser Zeilen, den ich halbwollst
ausführen bitte, Ihnen des Räthaus mussendesten wird, bin ich
angesichts der "falschen" Statistik der H- und Li-6 Kerne, sowie
des kontinuierlichen Beta-Spektrums auf diesen verwirrten Ausweg
verfallen um den "Wechselente" (1) der Statistik und den Energiesatz
zu retten. Möglicher die Möglichkeit, es könnten elektrisch neutrale
Teilchen, wie Ich Neutronen nennen will, in den Lernen austitieren,
welche den Spin 1/2 haben und das Ausschließlichkeitsprinzip befolgen und
welche von Lichtquanten ausserdem noch dadurch unterscheiden, dass sie
sich mit Lichtgeschwindigkeit bewegen. Die Masse der Neutronen
würde von der selben Quantenzahlung wie die Elektronenmasse sein und
würde nicht grösser als 0,01 Protonenmassen. Da kontinuierliches
Beta-Spektrum wäre dann verständlich unter der Annahme, dass bei
einem Zerfall mit dem Elektron jenes noch ein Neutron emittiert
wird, dersart, dass die Summe der Energien von Neutron und Elektron
konstant ist.

Předpovězení a objev neutrina

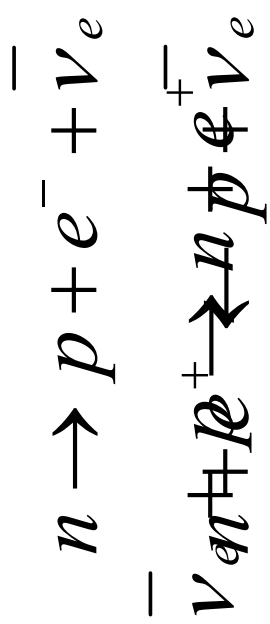


Wolfgang Pauli:

"I have done something very bad today by proposing a particle that cannot be detected; it is something no theorist should ever do."



Objev neutrin - Reines a Cowan



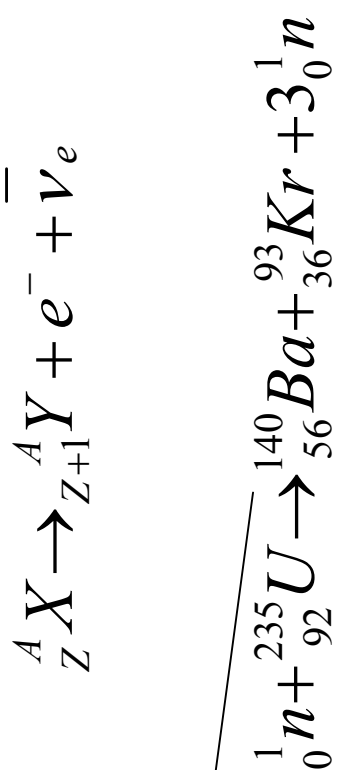
Clyde Cowan Jr.



Frederick Reines



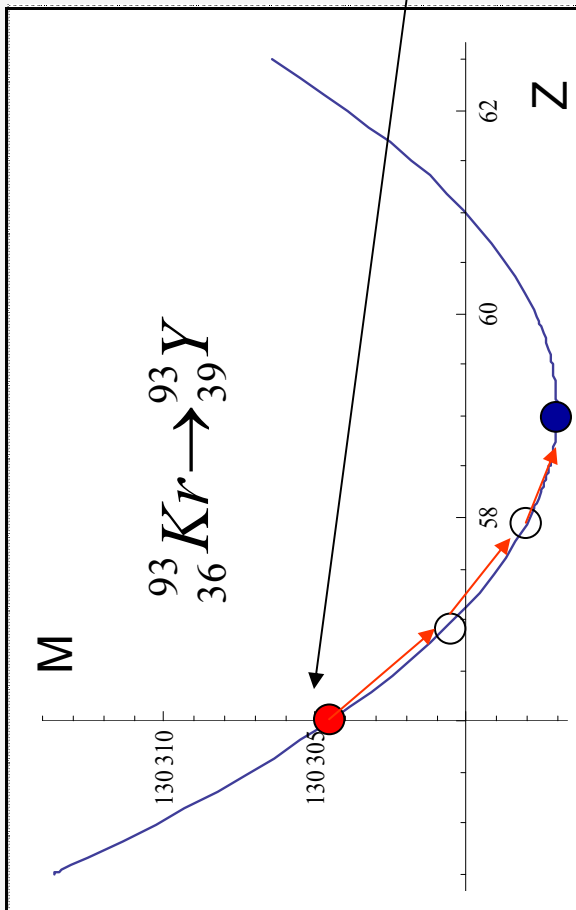
Jak vznikají antineutrina v reaktorech



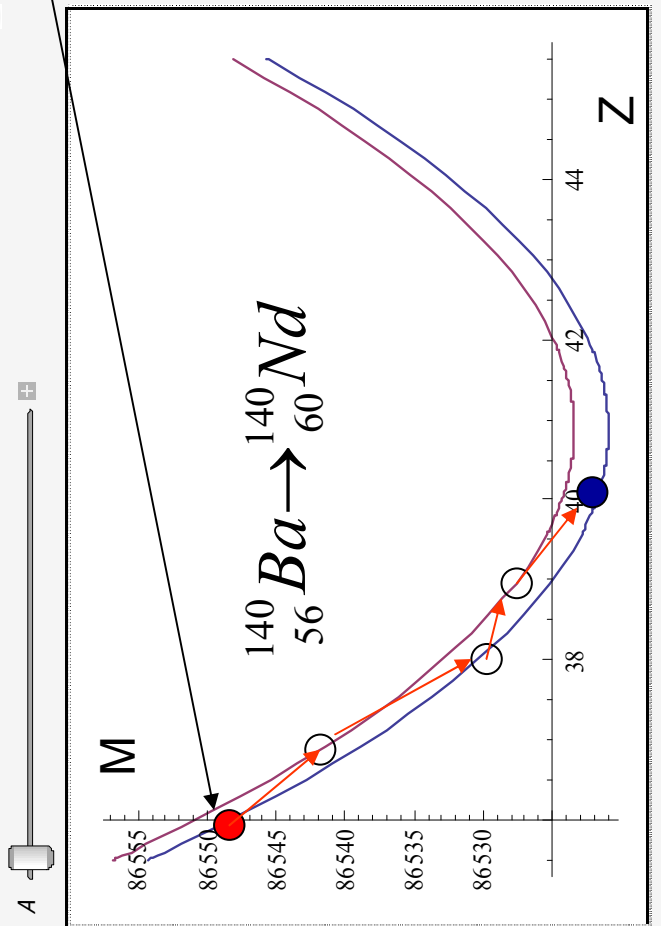
Vzniklá jádra mají příliš mnoho neutronů = nacházejí se mimo údolí stability.

Stabilita je pak dosažena beta-rozpady.
Průměrně vzniká 6 antineutrin na každé rozštěpené jádro

ednáška 10



Out[79]=



Out[80]=

16

Detekce antineutrin:

Positron anihiluje a vznikají dvě 511 keV gamma

Neutron se zpomaluje a je zachycen kadmiem a vzniká několik gama kvantů s energiemi MeV

$$\bar{\nu}_e + p \rightarrow n + e^+$$

Antineutrino from reactor

① Liquid scintillation detector

H₂O + CdCl₂
[target]

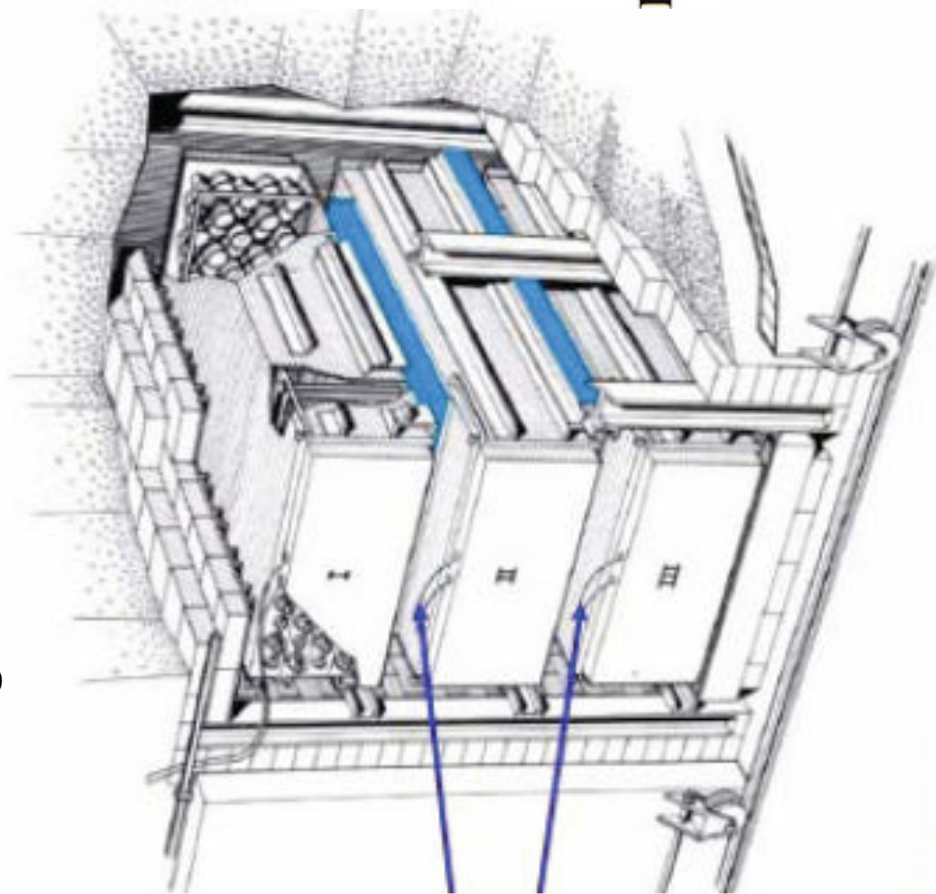
7.6 cm

② Liquid scintillation detector

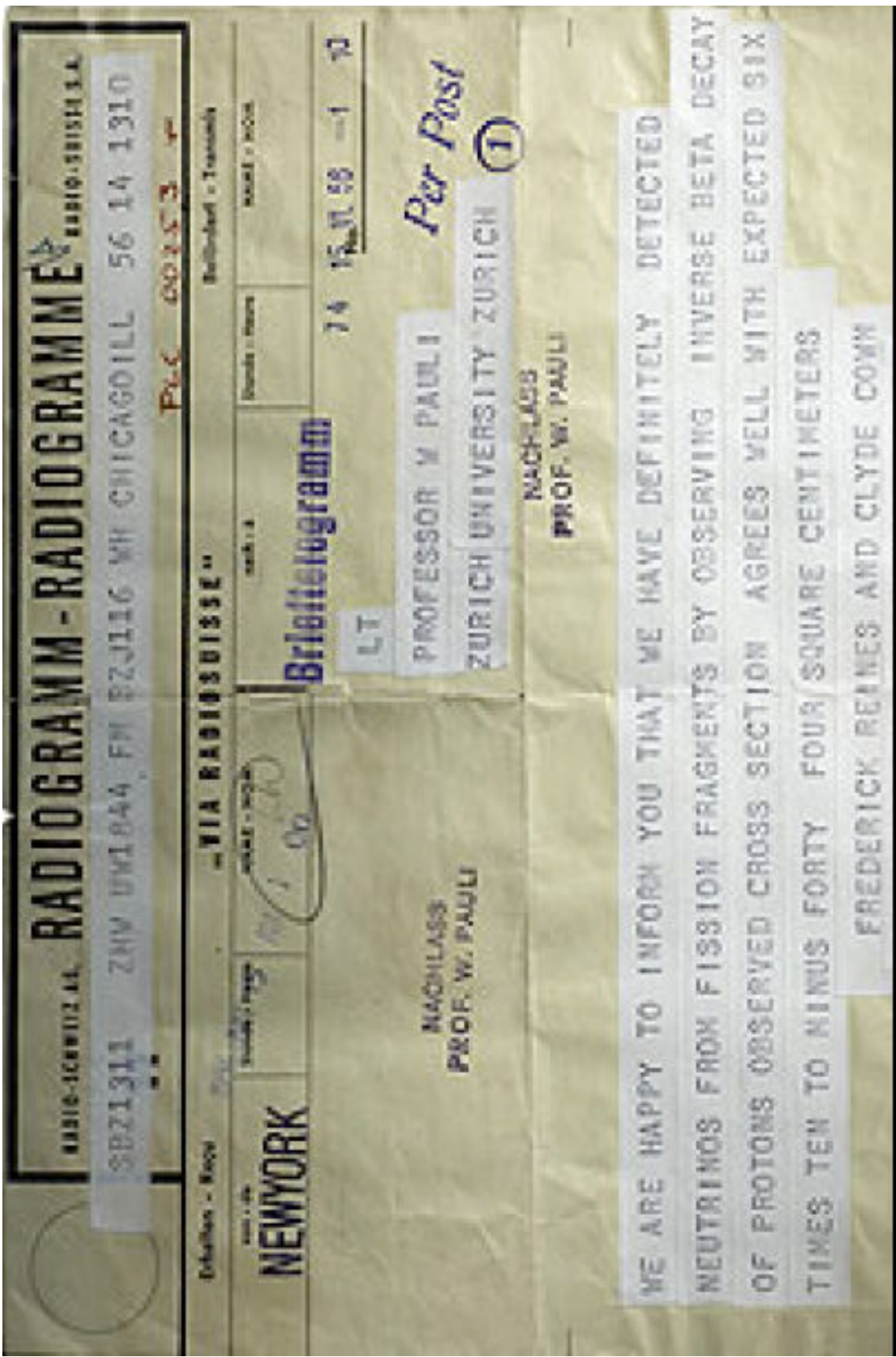
Annihilation gamma rays

n Capture
in cadmium
after moderation

e⁺
Target proton

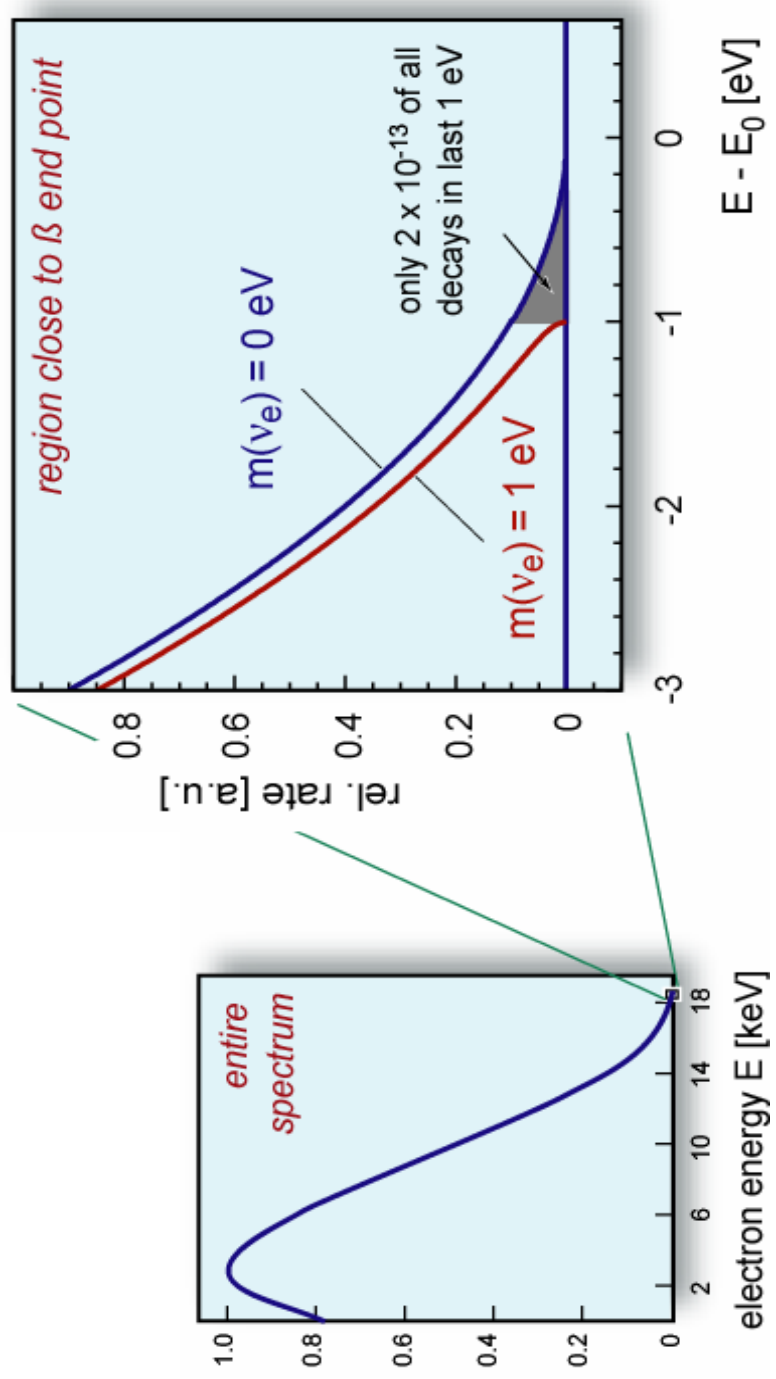


15.6.1956: Telegram Cowena a Reines a Paulimu - oznamují objev neutrin



Přímé měření hmoty elektronového antineutrína

Měří se přesně konec spektra elektronů produkovaných v beta rozpadu

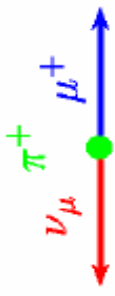


Hmota mionového neutrína

Principle

$$\pi^+ \rightarrow \mu^+ + \nu_\mu \quad (\text{Two body decay})$$

Decay at rest:



$$|\vec{p}_\nu| = |\vec{p}_\mu|$$

$$m_\pi = E_\nu + E_\mu$$

$$\rightarrow m_\nu^2 = m_\pi^2 + m_\mu^2 - 2 \cdot m_\pi \cdot \sqrt{m_\mu^2 + p_\mu^2}$$

Tři veličiny musí být změřeny s velkou přesností. Hmoty mionu a pionu jsou nejpřesněji známy z měření spekter mionových a pionových atomů, tj. když je elektron nahrazen mionem anebo záporným pi mezonem.

R. Leitner Fyzika V- Přednáška 10

Hmotá mionového neutrína

PDG2006

ν MASS (muon based)			
VALUE (MeV)	CL %	DOCUMENT ID	TECN
<0.19 (CL = 90%) OUR EVALUATION			
<0.17	90	26 ASSAMAGAN	96 SPEC
			$m_{\nu}^2 = -0.016 \pm 0.023$

Possible future improvement: → $m_{\nu} < 8 \text{ keV}$

NuMass collaboration, g-2 storage ring experiment,
comparing the pion and muon momenta in flight.

NuMass homepage: <http://www.hep.umn.edu/numass/>

Hmotá Tau neutrína

Metoda: přesné měření invariantní hmoty hadronů a jejich energie v rozpadech tau na mnoho pionů

$$\tau^-(E_\tau, \mathbf{p}_\tau) \rightarrow h^-(E_h, \mathbf{p}_h) + \nu_\tau(E_\nu, \mathbf{p}_\nu)$$

- V klidovém systému tau leptonu je energie hadronového systému funkcí jeho hmoty a hmoty tau neutrína:

$$E_h^* = \frac{m_\tau^2 + m_h^2 - m_\nu^2}{2m_\tau}$$

- $m_\nu(\tau)$ lze vypočítat, známe-li m_h and E_h^*

Tau neutrino mass

PDG2006

ν MASS (tau based)

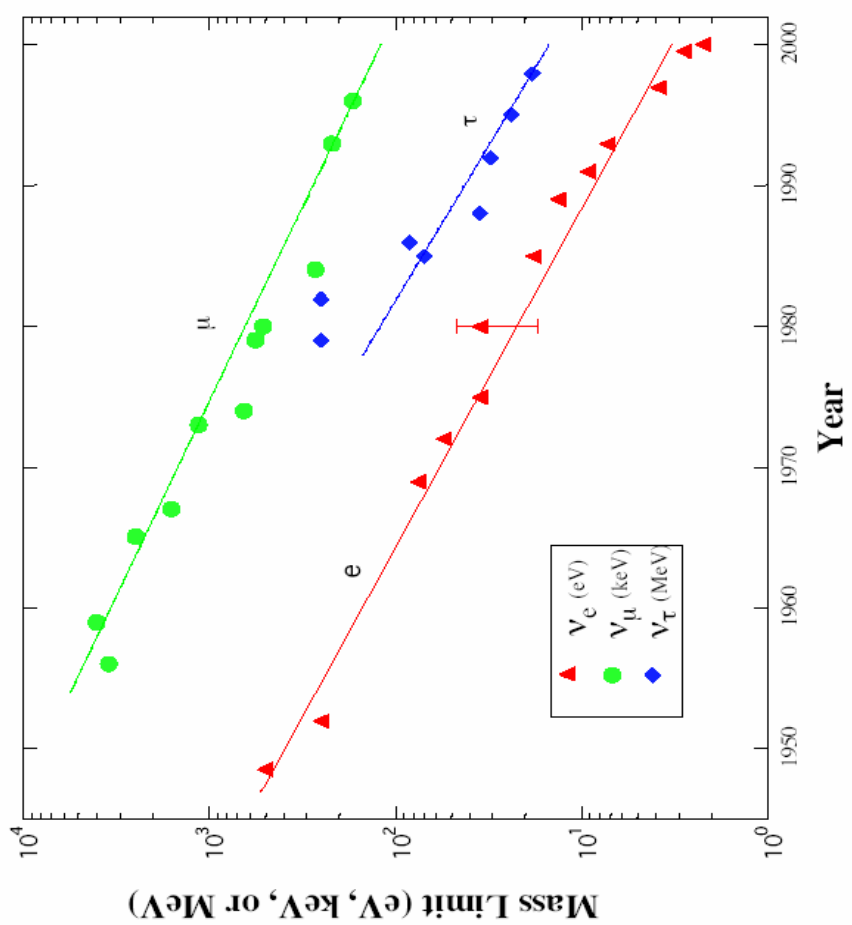
VALUE (MeV)	CL%	EVTS	DOCUMENT ID	TECN	COMMENT
< 18.2	95		31 BARATE	98F ALEP	1991–1995 LEP runs

31 BARATE 98F result based on kinematics of $2939 \tau^- \rightarrow 2\pi^-\pi^+\nu_\tau$ and $52 \tau^- \rightarrow 3\pi^- 2\pi^+ (\pi^0) \nu_\tau$ decays. If possible 2.5% excited a_1 decay is included in 3-prong sample analysis, limit increases to 19.2 MeV.

- • • We do not use the following data for averages, fits, limits, etc. • • • (23 entries)

< 28	95	32 ATHANAS	00 CLEO $E_{cm} = 10.6$ GeV
< 27.6	95	33 ACKERSTAFF	98T OPAL 1990–1995 LEP runs
< 30	473	34 AMMAR	98 CLEO $E_{cm} = 10.6$ GeV
< 60	95	35 ANASTASSOV	97 CLEO $E_{cm} = 10.6$ GeV
< 0.37 or >22		36 FIELDS	97 COSM Nucleosynthesis R. Lettieri, Ryukoku v- Freunaska IU

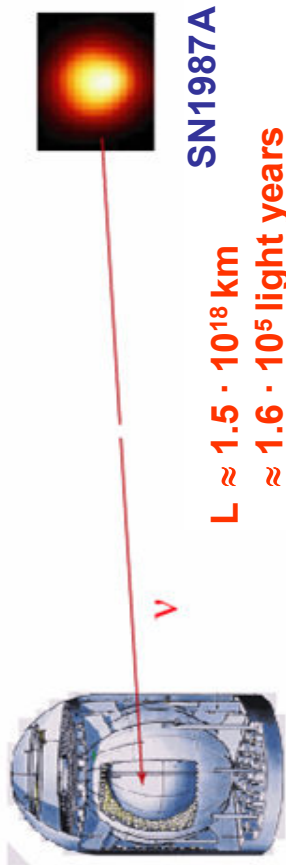
$m(\nu_e)$: tritium β -decay ${}^3\text{H} \rightarrow {}^3\text{He} + e^- + \nu_e$
 $m(\nu_\mu)$: pion-decay $\pi^+ \rightarrow \mu^+ + \nu_\mu$
 $m(\nu_\tau)$: tau hadr. decay $\tau \rightarrow 5\pi + \nu_\tau$



Omezení na hmotu neutrín z výbuchu supernovy SN1987A

Měření doby letu:

$$E^2 = m^2 c^4 + p^2 c^2$$



Neutrino s hmotou m , E ($m^2 \ll E^2$)

$$\Delta t = t_E - t_{SN} = \frac{L}{c} \cdot \left[1 + \frac{m^2 c^4}{2 E^2} \right]$$

Dvě neutrína with m , E_1, E_2

$$t_{E1} - t_{E2} = (t_{SN1} - t_{SN2}) + \frac{L}{c} \cdot \frac{m^2 c^4}{2} \left[\frac{1}{E_1^2} - \frac{1}{E_2^2} \right]$$

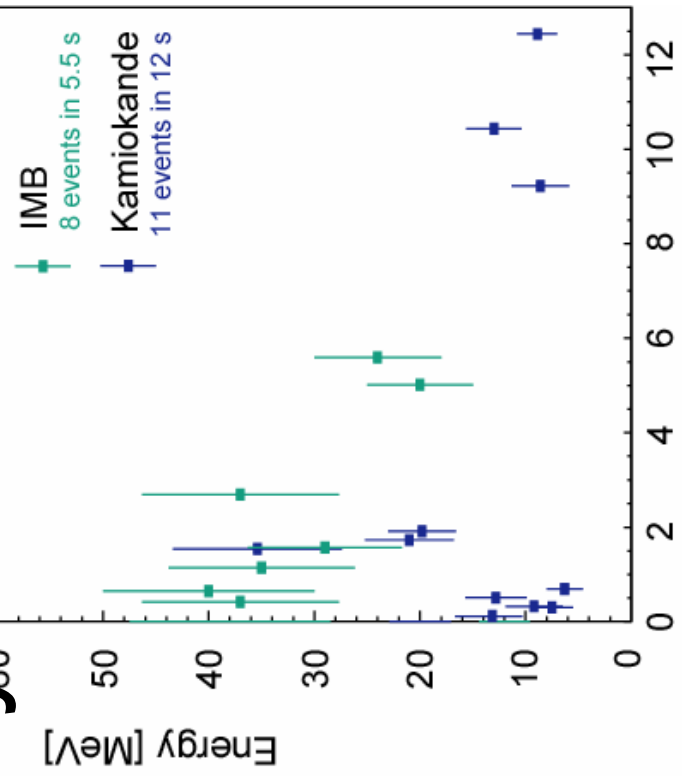
Omezení na hmotu neutrín z výbuchu supernovy SN1987A⁶⁰

Měření doby letu:

$$E^2 = m^2 c^4 + p^2 c^2$$

Neutrino s hmotou m , E ($m^2 << E^2$)

$$\Delta t = t_E - t_{SN} = \frac{L}{c} \cdot \left[1 + \frac{m^2 c^4}{2E^2} \right]$$



Time [s]

Time [s]

Závisí na
modelu
výbuchu SN₂₆

Dvě neutrina with m, E_1, E_2

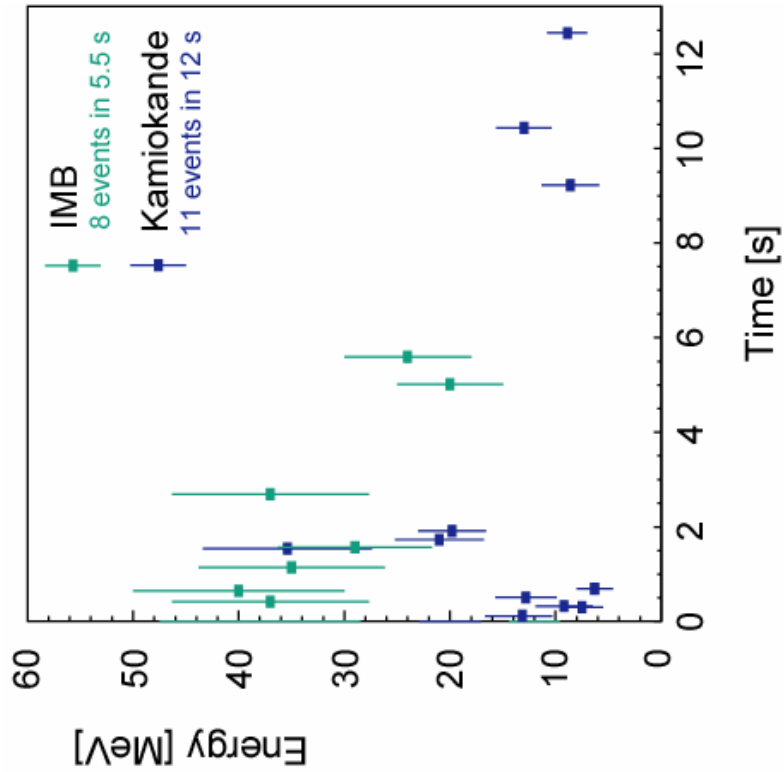
$$t_{E_1} - t_{E_2} = (t_{SN1} - t_{SN2}) + \frac{L}{c} \cdot \frac{m^2 c^4}{2} \left[\frac{1}{E_1^2} - \frac{1}{E_2^2} \right]$$

R. Leitner Fyzika V- Přednáška 10

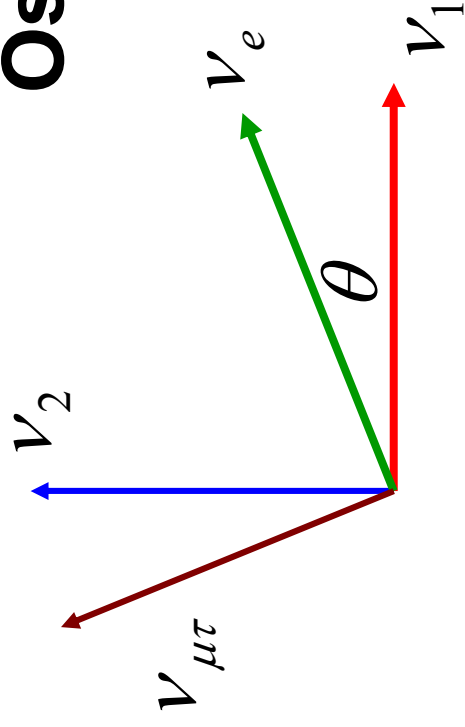
Omezení na hmotu neutrín z výbuchu supernovy SN1987A

PDG2006

VALUE (eV)	CL %	DOCUMENT ID
<16	95	SPERGEL
<14	95	AVIGNONE
<19.6	95	KERNAN
< 5.7	95	LOREDO



Oscilace neutrín



$$H|\nu_1\rangle = E_1|\nu_1\rangle \Rightarrow i\hbar\partial_t|\nu_1\rangle = H|\nu_1\rangle = E_1|\nu_1\rangle \Rightarrow |\nu_1(t)\rangle = e^{-\frac{i}{\hbar}E_1 t}|\nu_1(0)\rangle$$

$$H|\nu_2\rangle = E_2|\nu_2\rangle \Rightarrow i\hbar\partial_t|\nu_2\rangle = H|\nu_2\rangle = E_2|\nu_2\rangle \Rightarrow |\nu_2(t)\rangle = e^{-\frac{i}{\hbar}E_2 t}|\nu_2(0)\rangle$$

$$|\nu_e\rangle = \cos(\theta)|\nu_1\rangle + \sin(\theta)|\nu_2\rangle$$

$$|\nu_{\mu\tau}\rangle = -\sin(\theta)|\nu_1\rangle + \cos(\theta)|\nu_2\rangle$$

$$|\nu_e\rangle = \cos(\theta)|\nu_1\rangle + \sin(\theta)|\nu_2\rangle$$

$$|\nu_e(t)\rangle = \cos(\theta)|\nu_1(t)\rangle + \sin(\theta)|\nu_2(t)\rangle = \cos(\theta)e^{-\frac{i}{\hbar}E_1t}|\nu_1\rangle + \sin(\theta)e^{-\frac{i}{\hbar}E_2t}|\nu_2\rangle$$

$$\begin{aligned} |\nu_e(t)\rangle &= A(t)|\nu_e\rangle + B(t)|\nu_{\mu\tau}\rangle = A(t)(\cos(\theta)|\nu_1\rangle + \sin(\theta)|\nu_2\rangle) + B(t)(-\sin(\theta)|\nu_1\rangle + \cos(\theta)|\nu_2\rangle) = \\ &(A(t)\cos(\theta) - B(t)\sin(\theta))|\nu_1\rangle + (A(t)\sin(\theta) + B(t)\cos(\theta))|\nu_2\rangle \end{aligned}$$

$$A(t)\cos(\theta) - B(t)\sin(\theta) = \cos(\theta)e^{-\frac{i}{\hbar}E_1t}$$

$$A(t)\sin(\theta) + B(t)\cos(\theta) = \sin(\theta)e^{-\frac{i}{\hbar}E_2t}$$

$$A(t) = \cos^2(\theta)e^{-\frac{i}{\hbar}E_1t} + \sin^2(\theta)e^{-\frac{i}{\hbar}E_2t}$$

$$B(t) = \sin(\theta)\cos(\theta) \begin{pmatrix} e^{-\frac{i}{\hbar}E_2t} & -e^{-\frac{i}{\hbar}E_1t} \\ e^{-\frac{i}{\hbar}E_1t} & -e^{-\frac{i}{\hbar}E_2t} \end{pmatrix}$$

$$A(t) = \cos^2(\theta)e^{-\frac{i}{\hbar}E_1t} + \sin^2(\theta)e^{-\frac{i}{\hbar}E_2t}$$

$$B(t) = \sin(\theta)\cos(\theta)\begin{pmatrix} e^{-\frac{i}{\hbar}E_2t} & -e^{-\frac{i}{\hbar}E_1t} \end{pmatrix}$$

$$\begin{aligned} P_{\nu_e \rightarrow \nu_e}(t) &= A^*(t)A(t) = \left(\cos^2(\theta)e^{+\frac{i}{\hbar}E_1t} + \sin^2(\theta)e^{+\frac{i}{\hbar}E_2t} \right) \left(\cos^2(\theta)e^{-\frac{i}{\hbar}E_1t} + \sin^2(\theta)e^{-\frac{i}{\hbar}E_2t} \right) = \\ &\cos^4(\theta) + \sin^4(\theta) + \cos^2(\theta)\sin^2(\theta) \left(e^{+\frac{i}{\hbar}(E_1-E_2)t} + e^{-\frac{i}{\hbar}(E_1-E_2)t} \right) = \\ &\cos^4(\theta) + \sin^4(\theta) + 2\cos^2(\theta)\sin^2(\theta) - 2\cos^2(\theta)\sin^2(\theta) \left(1 - \frac{e^{+\frac{i}{\hbar}(E_1-E_2)t} + e^{-\frac{i}{\hbar}(E_1-E_2)t}}{2} \right) = \\ &(\cos^2(\theta) + \sin^2(\theta))^2 - 2\cos^2(\theta)\sin^2(\theta) \left(1 - \cos\left(\frac{E_1 - E_2}{\hbar}t\right) \right) = \\ &\frac{1 - \cos\left(\frac{E_1 - E_2}{\hbar}t\right)}{2} = 1 - \sin^2(2\theta) \sin^2\left(\frac{E_1 - E_2}{2\hbar}t\right) \end{aligned}$$

$$P_{\nu_e \rightarrow \nu_e}(t) = 1 - \sin^2(2\theta) \sin^2 \left(\frac{E_1 - E_2}{2\hbar} t \right)$$

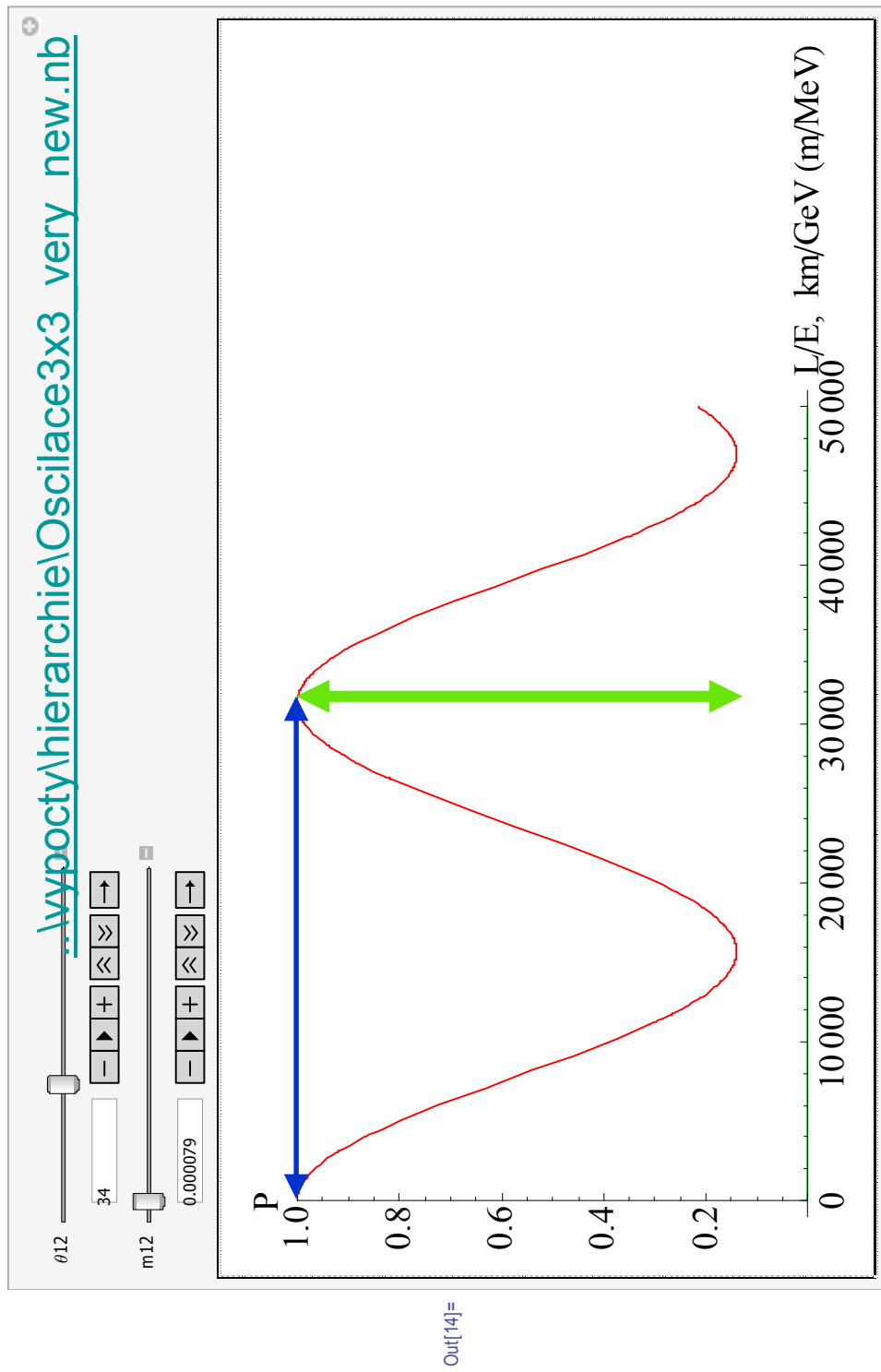
$$E_1 = \sqrt{p^2 + m_1^2} = p \left(1 + \frac{m_1^2}{p^2} \right)^{1/2} \xrightarrow[m_1 \ll p]{} p \left(1 + \frac{1}{2} \frac{m_1^2}{p^2} \right) = p + \frac{m_1^2}{2p}$$

$$E_2 = \sqrt{p^2 + m_2^2} = p \left(1 + \frac{m_2^2}{p^2} \right)^{1/2} \xrightarrow[m_2 \ll p]{} p \left(1 + \frac{1}{2} \frac{m_2^2}{p^2} \right) = p + \frac{m_2^2}{2p}$$

$$E_1 - E_2 = \frac{m_1^2 - m_2^2}{2p}$$

$$\begin{aligned} P_{\nu_e \rightarrow \nu_e}(t) &= 1 - \sin^2(2\theta) \sin^2 \left(\frac{m_1^2 - m_2^2}{4\hbar p} t \right) = 1 - \sin^2(2\theta) \sin^2 \left(\frac{m_1^2 - m_2^2}{4\hbar c} \frac{ct}{p} \right) \approx \\ &1 - \sin^2(2\theta) \sin^2 \left(\frac{m_1^2 - m_2^2}{4\hbar c} \frac{L}{p} \right) \approx 1 - \sin^2(2\theta) \sin^2 \left(\frac{m_1^2 - m_2^2}{4\hbar c} \frac{L}{E} \right) \end{aligned}$$

$$P_{ee}(t) = 1 - \sin^2(2\theta) \sin^2 \left(\frac{\Delta m_{12}^2}{4\hbar c} \frac{L}{E} \right)$$



Dva typy experimentů:

$$|\nu_e\rangle(t) = \left(e^{-\frac{i}{\hbar}E_1 t} \cos^2(\theta) + e^{-\frac{i}{\hbar}E_2 t} \sin^2(\theta) \right) |\nu_e\rangle + \cos(\theta) \sin(\theta) \begin{pmatrix} e^{-\frac{i}{\hbar}E_2 t} - e^{-\frac{i}{\hbar}E_1 t} \\ 0 \end{pmatrix} |\nu_\mu\rangle$$

Disappearance

Appearance



$$E_\nu^{thr} = 0$$

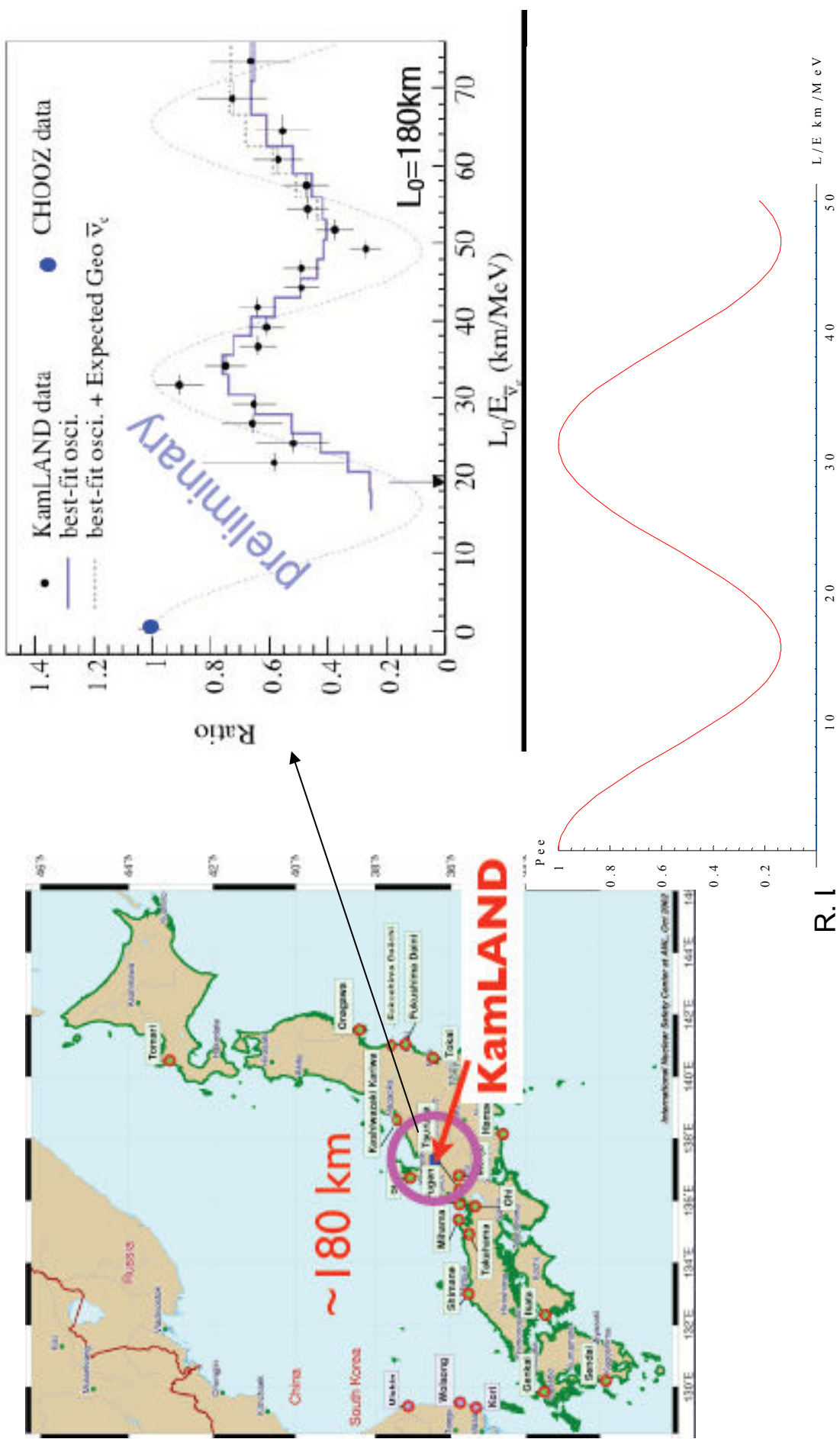


$$E_\nu^{thr} = \frac{(m_p + m_\mu)^2 - m_p^2}{2m_n} \cong m_\mu = 110 MeV$$



$$E_\nu^{thr} = \frac{(m_p + m_\tau)^2 - m_p^2}{2m_n} \cong m_\mu = 1777 MeV$$

Oscilační průběh antineutrin z jaderných reaktorů byl poprvé změřen v experimentu KamLAND v Japonsku



Zdroje neutrín:

Jaderné reaktory:

elektronová anti-neutrína, $E < 10 \text{ MeV}$

Urychlovače částic: urychlené protony interagují s terčem, vznikají pi mezony
a ty se rozpadají na miony a neutrínu mionová neutrína a anti-neutrína, E až $\sim 10 \text{ GeV}$

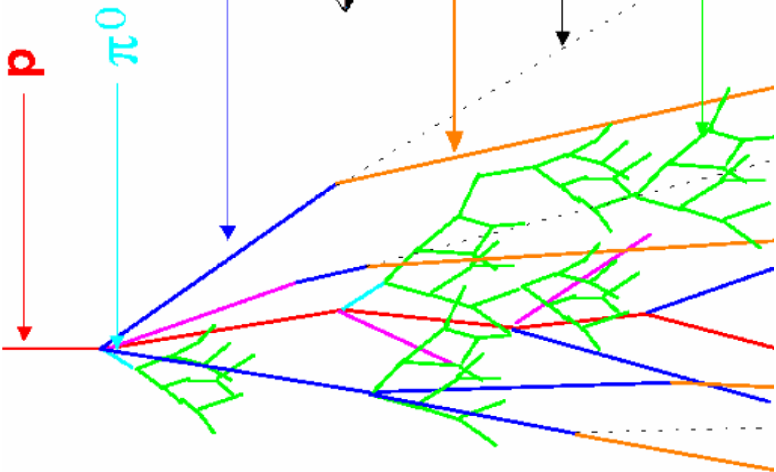
Kosmické záření:

elektronová a mionová neutrína a anti-neutrína, $E \sim \text{GeV}$

Slunce: elektronová neutrína, $E < 14 \text{ MeV}$

Reliktní neutrína: neutrína $E < \text{mikroeV}$, $\sim 300/\text{cm}^3$, velmi obtížné je detektovat

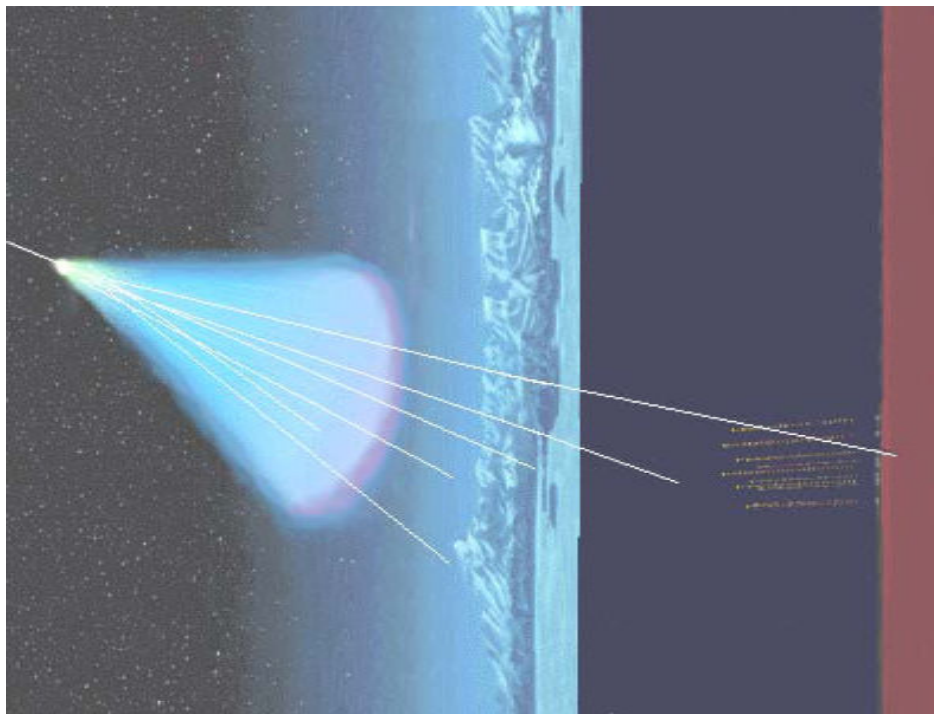
Kosmické záření:



Primární částice:

p 80 %, a 9 %, n 8 %
e 2 %, těžká jádra 1 %

π^\pm 0.1 %,



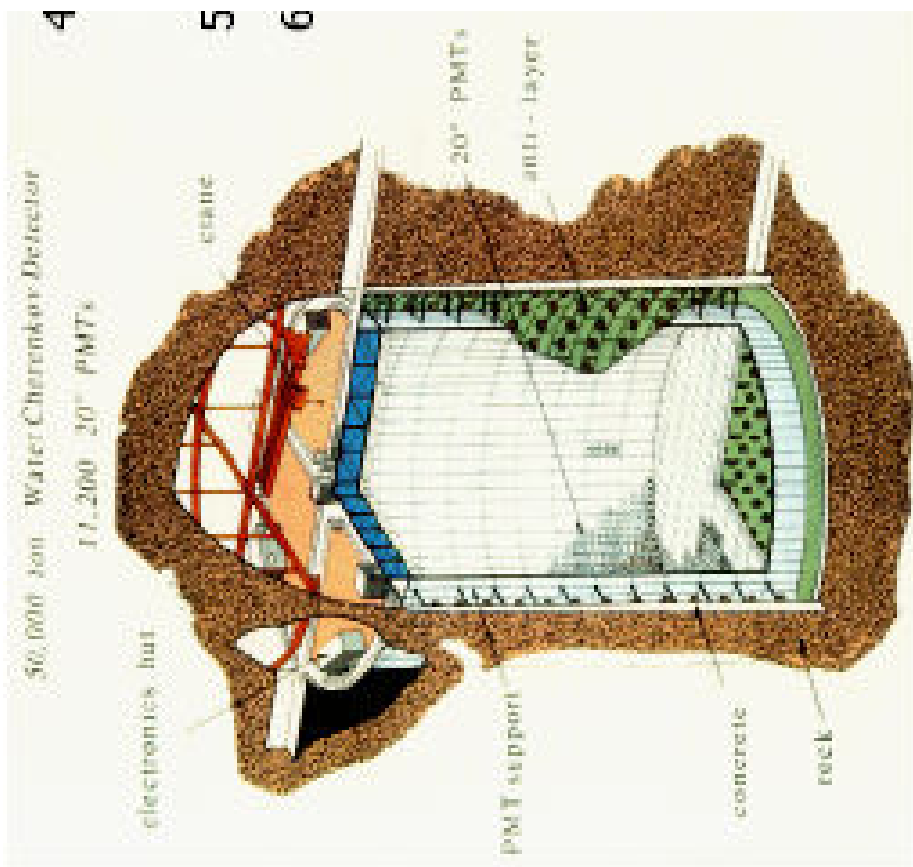
Sekundární částice

na Zemi:

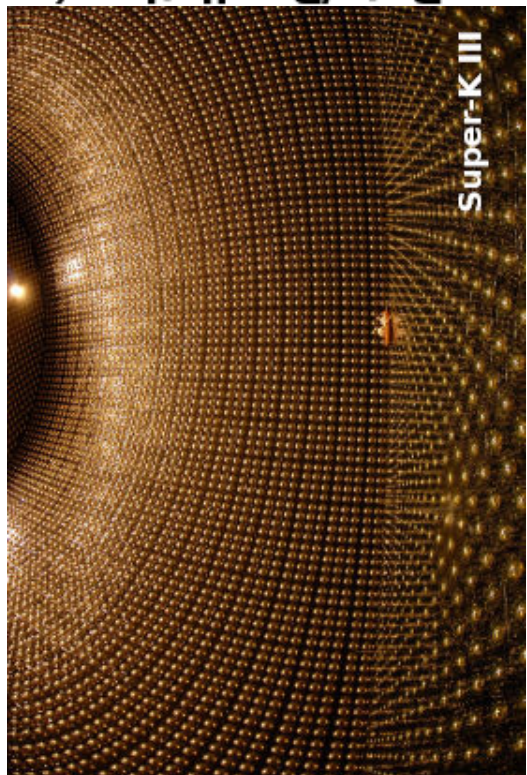
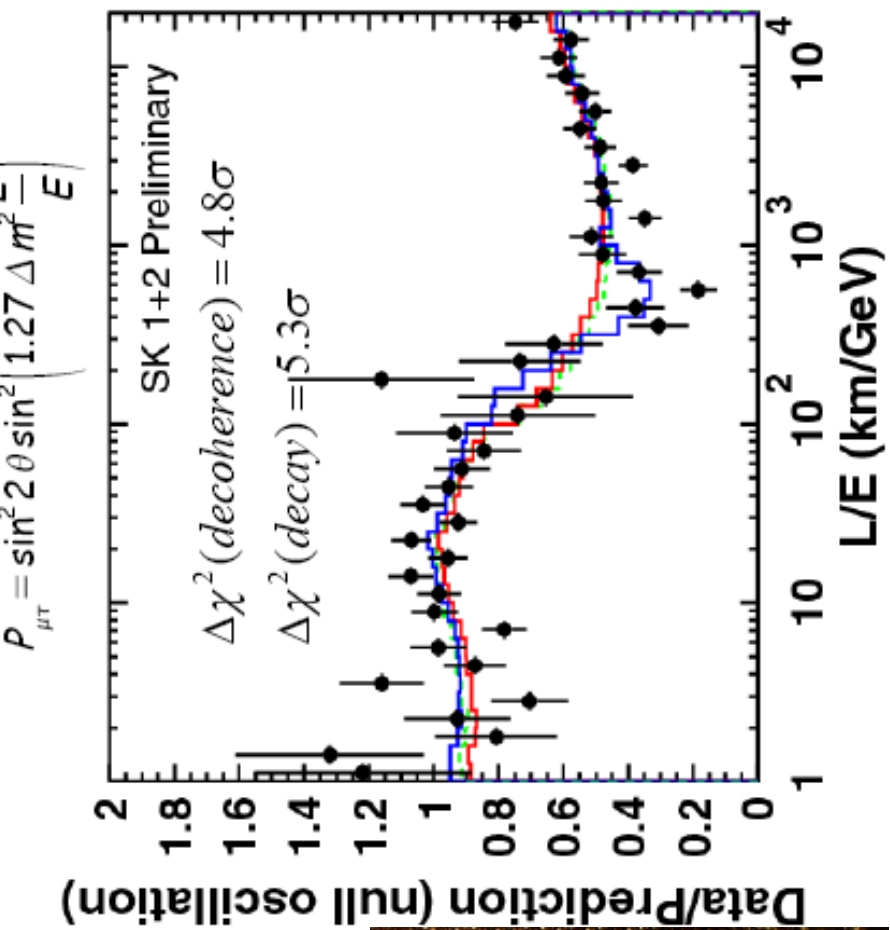
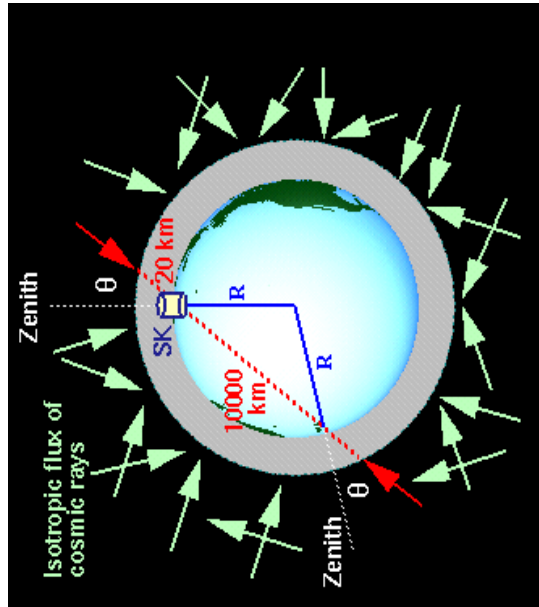
v 68 %
 μ 30 %
p, n, π ... 2 %

Oscilace neutrín z kosmického záření byly pozorovány v Super Kamiokande

- 1) Velikost: válec $41.4\text{m (h)} \times 39.3\text{m (d)}$
- 2) $50,000$ tun čisté vody
- 3) $11,200$ fotonásobičů
- 4) Energetické rozlišení :
 2.5% (pro 1 GeV) a 16% (pro 10 MeV)
- 5) Práh detekce: 5 MeV
- 6) Místo: Kamioka-cho, Yoshiiki-gun,
Gifu-ken
($1,000\text{m}$ podzemí v dole Mozumi
Kamioka Mining and Smelting Co.)



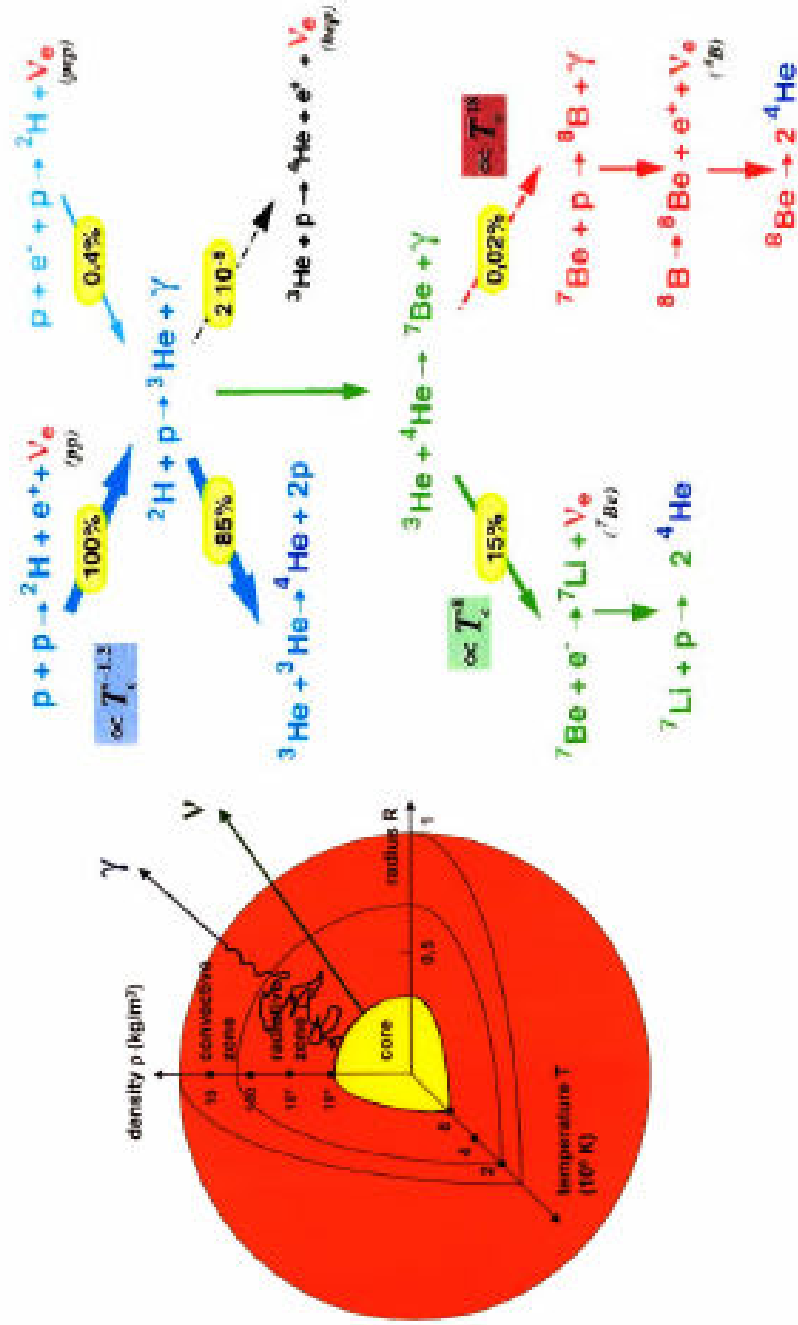
Výsledek ze SuperKamiokande



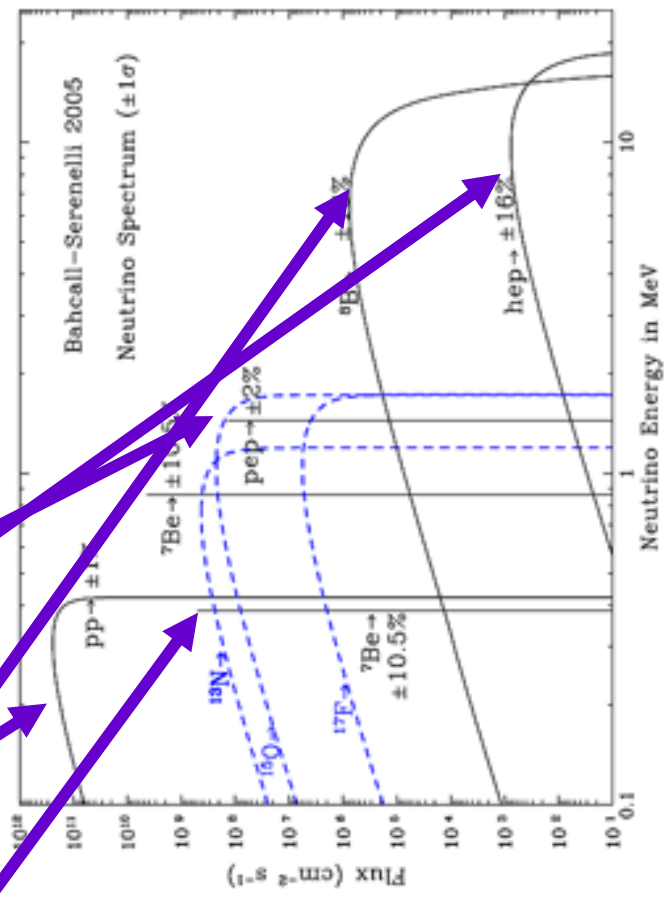
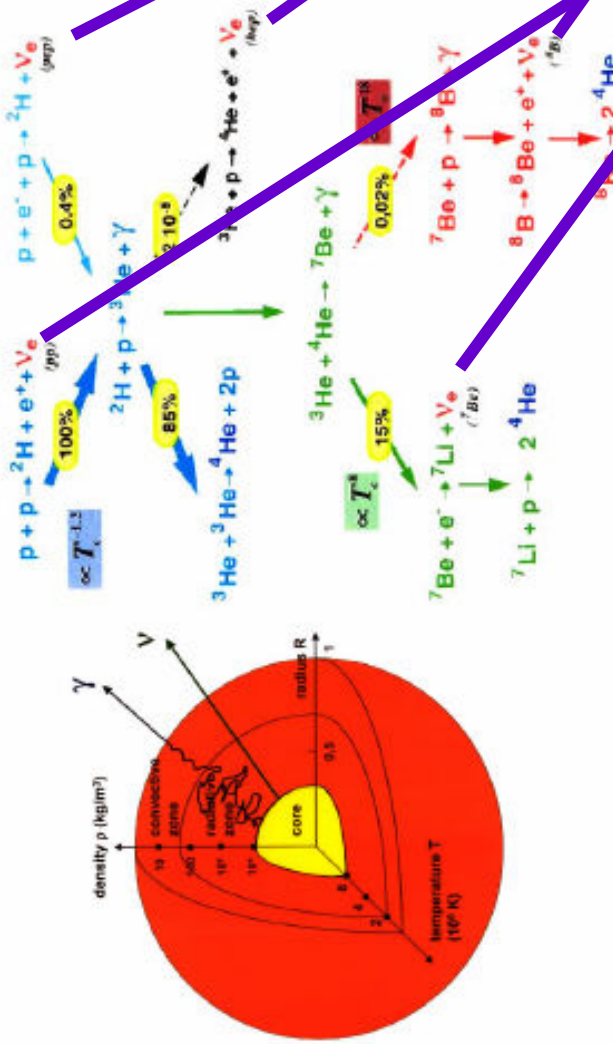
Sluneční neutrína

$$4p \rightarrow {}_2^4He + 2e^+ + 2\nu_e + 25MeV$$

Solar Neutrinos

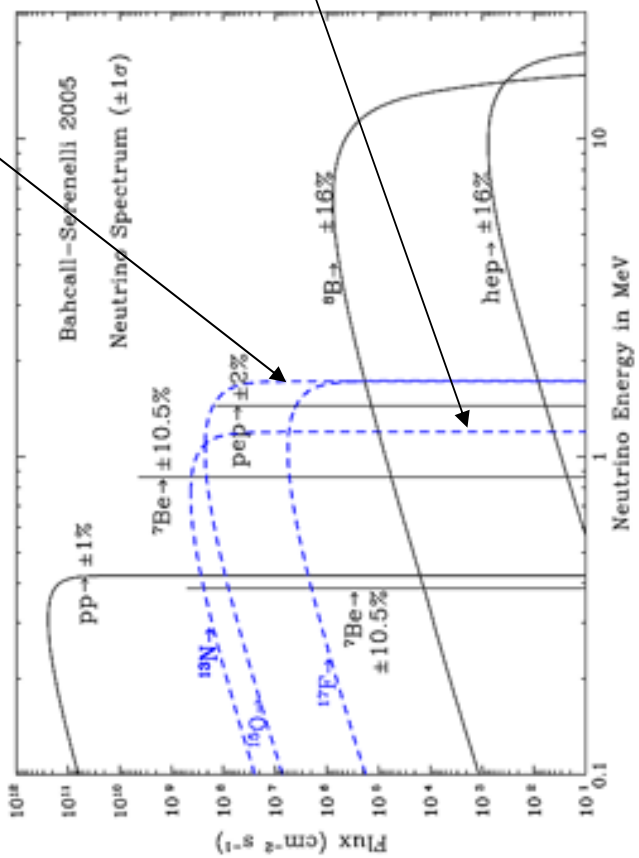
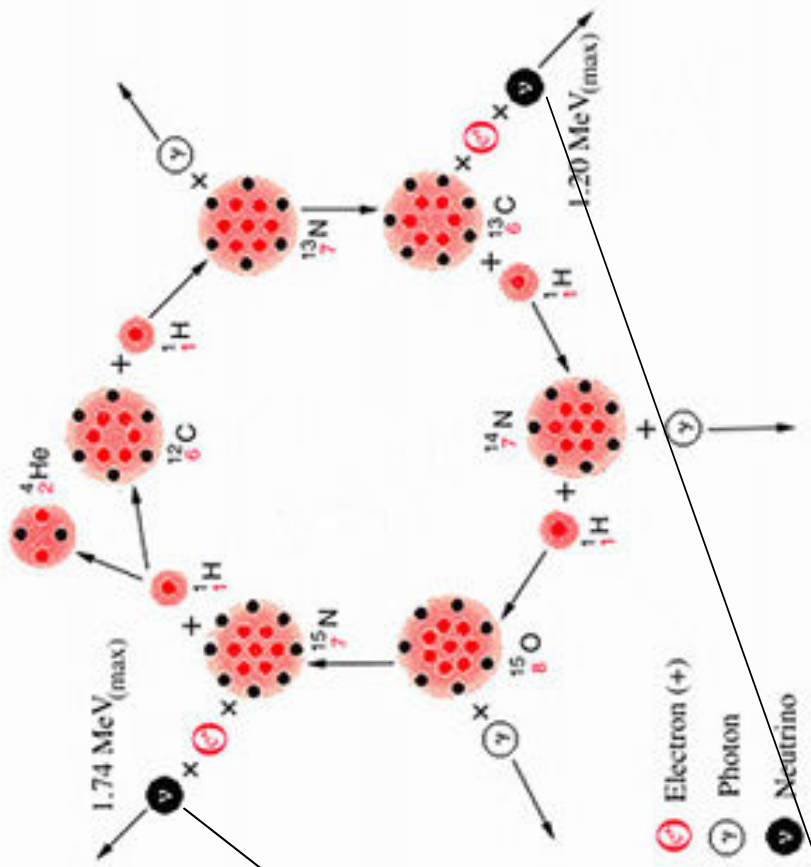


Solar Neutrinos



R. Leitner Fyzika 1

CNO cyklus



Detekce slunečních neutrín pomocí Cl Ar metody



B. Pontecorvo

Борис Понтецорво
National Research Council of Canada, Division of
Atomic Energy. Chalk River, 1946, Report PD-205.

An Example

There are several elements which can be used for neutrino radiation in the suggested investigation.

Chlorine and Bromine, for example, fulfil reasonably well the desired conditions. The reactions of interest would be:
 $\nu + {}_{37}\text{Cl} \rightarrow \beta^- + {}_{37}\text{Ar}$

${}_{37}\text{Ar} \rightarrow {}_{37}\text{Cl}$
(34 days; K capture)
(34 h; emission of positrons of 0.4 MeV)

The experiment with Chlorine, for example, would consist in irradiating with neutrinos a large volume of Chlorine or Carbon Tetra-Chloride, for a time of the order of one month, and extracting the radioactive ${}_{37}\text{Ar}$ from such volume by boiling. The radioactive argon would be introduced inside a small counter; the counting efficiency is close to 100%, because of the high Auger electron yield.

Davisův Experiment



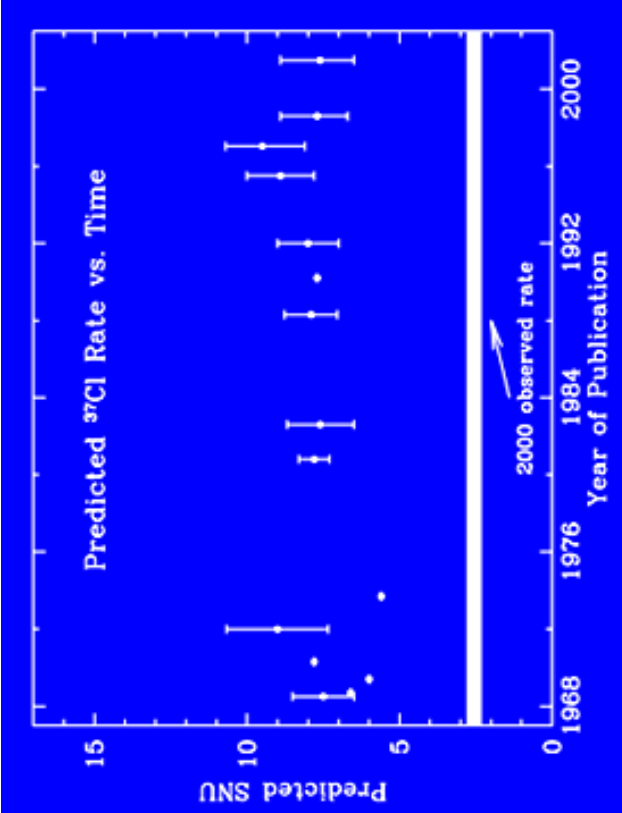
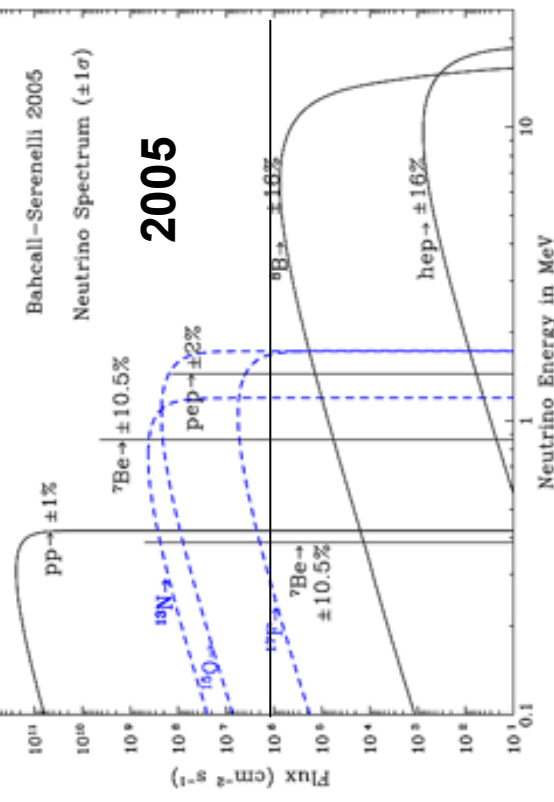
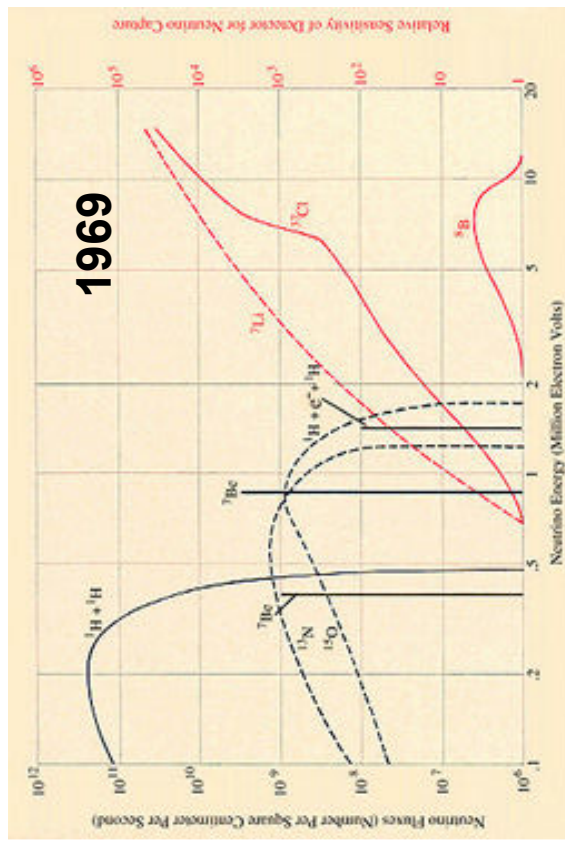
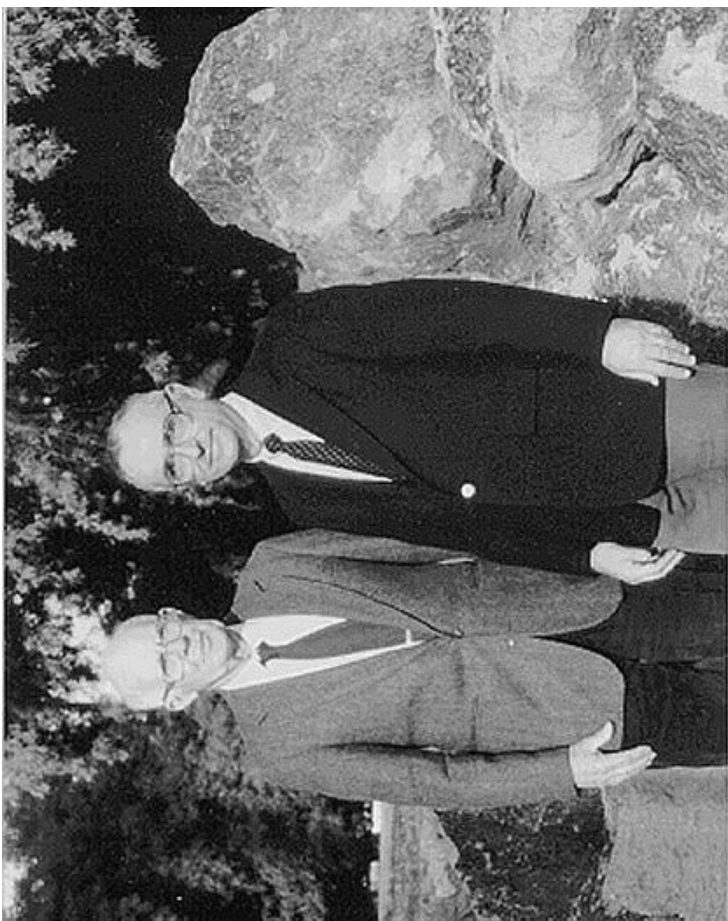
Photo courtesy of Brookhaven National Laboratory

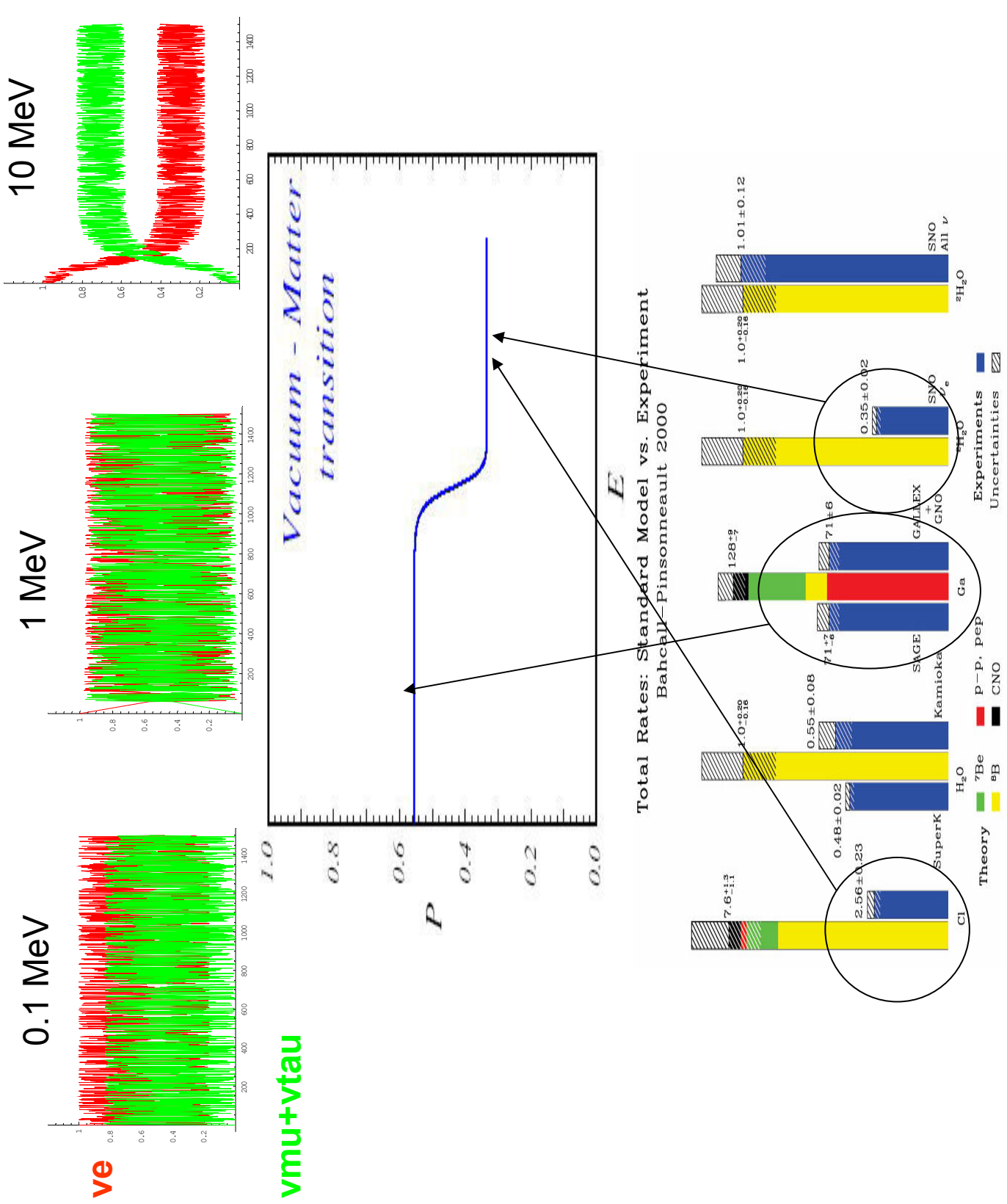
100000 gallonová nádrž na tetra chlor karbon

**1 Solar Neutrino Unit = 1 interakce na
 10^{36} atomů Cl37 za 1 s.**

V nádrži je asi 2×10^{30} atomů Cl37, a
měří se asi 2.5 SNU, tj. **jeden záchyt za
200000s, tj. asi $2^{1/4}$ dne.**

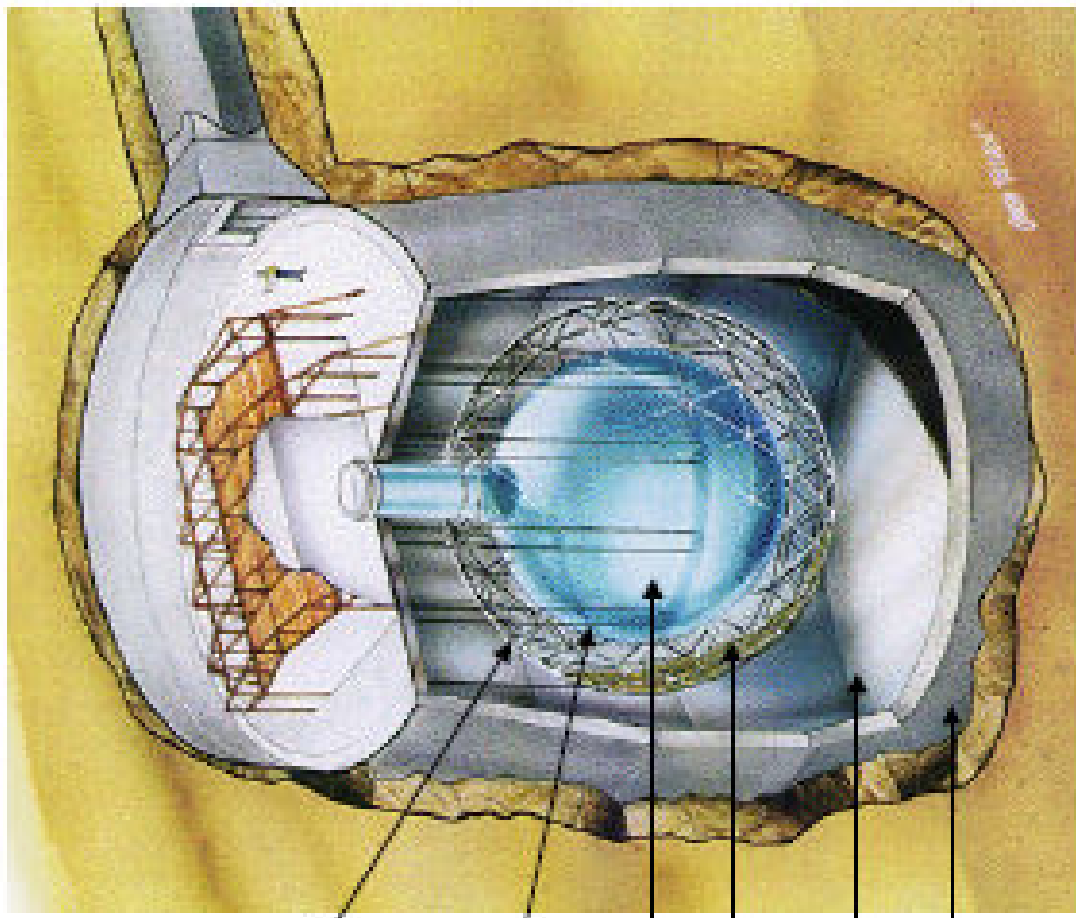
John Bahcall





Sudbury Neutrino Observatory

↑
2092 m to Surface (6010 m w.e.)



17.8 m Diameter Support Structure for
9456 20 cm PMTs
~55% coverage within 7 m

12 m Diameter Acrylic Vessel

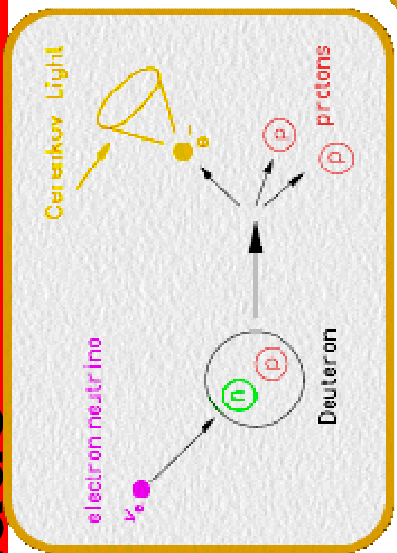
1000 Tonnes D₂O
1700 Tonnes Inner
Shielding H₂O
5300 Tonnes Outer Shield H₂O
Urylon Liner and Radon Seal

Sudbury Neutrino Observatory (SNO) v Kanadě

CC



- $Q = 1.445 \text{ MeV}$
- good measurement of ν_e energy spectrum
- some directional info $\propto (1 - 1/3 \cos\theta)$
- ν_e only

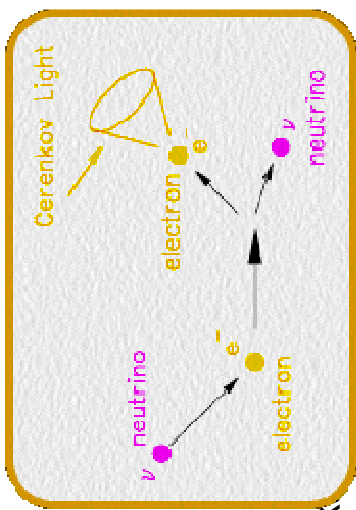
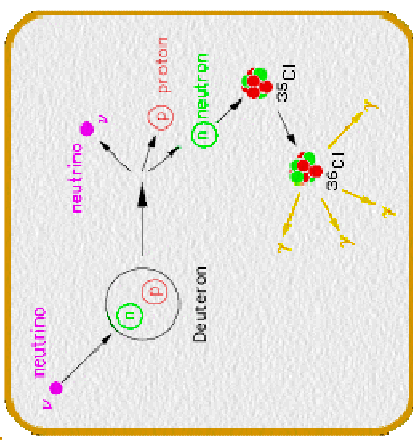


- $Q = 2.22 \text{ MeV}$
- measures total ^8B ν flux from the Sun
- equal cross section for all ν types

NC



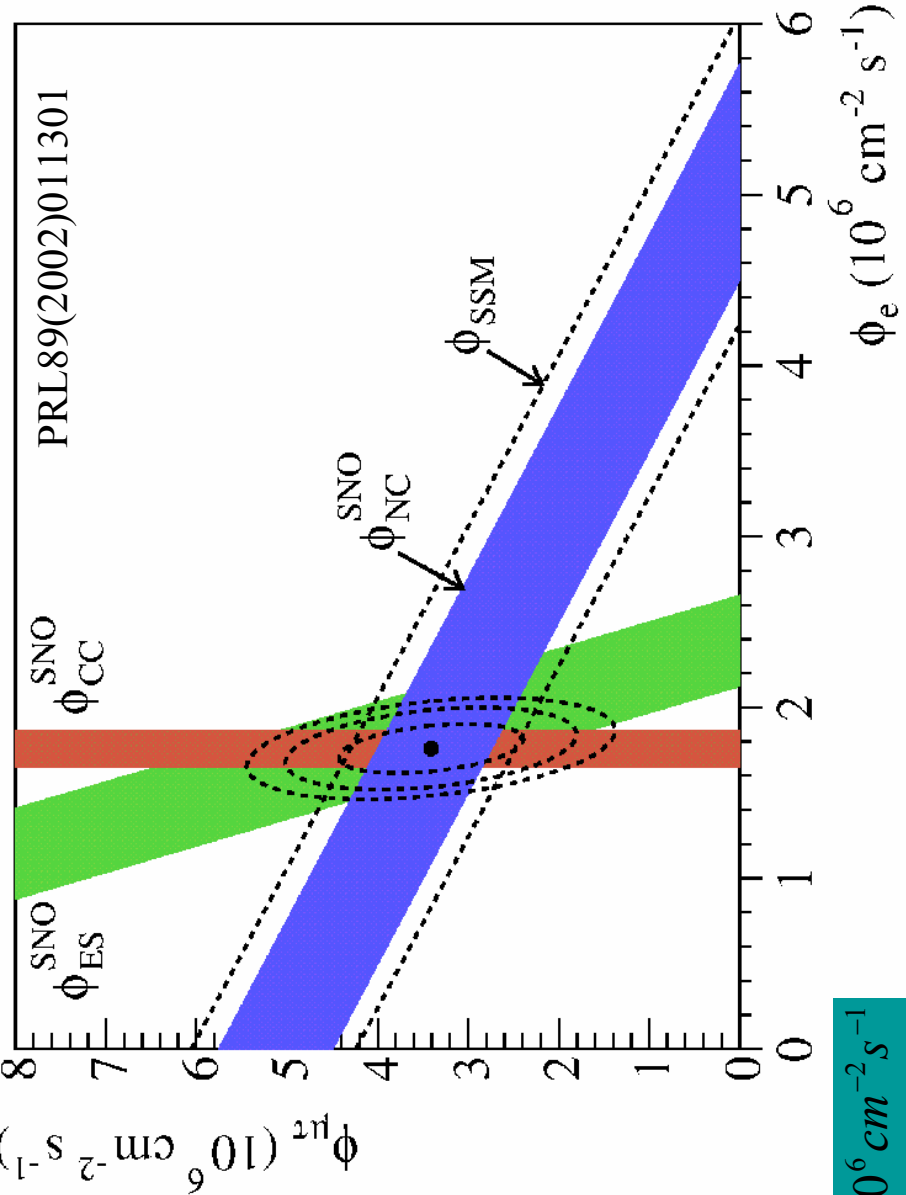
- low statistics
- mainly sensitive to ν_e , some ν_μ and ν_τ
- strong directional sensitivity



about 30 events per day.

47

SNO result



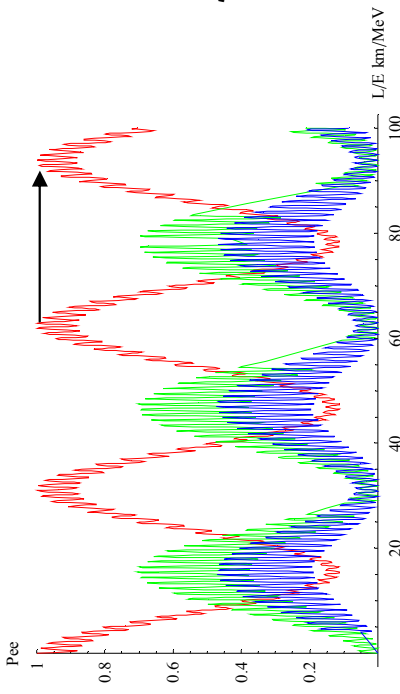
$$\phi_e = 1.76_{-0.05}^{+0.05} (\text{stat})_{-0.09}^{+0.09} (\text{syst}) \times 10^6 \text{ cm}^{-2} \text{s}^{-1}$$

$$\phi_{\mu\tau} = 3.41_{-0.45}^{+0.45} (\text{stat})_{-0.45}^{+0.48} (\text{syst}) \times 10^6 \text{ cm}^{-2} \text{s}^{-1}$$

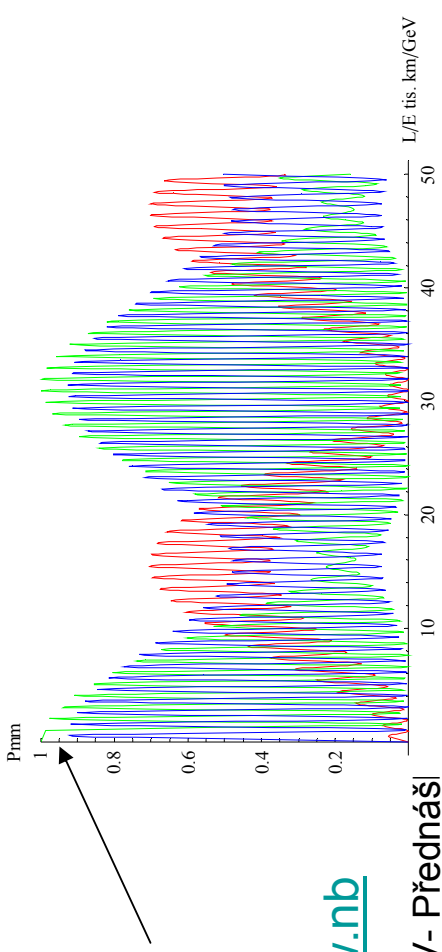
$$\phi_{\text{SSM}} = 5.05_{-0.81}^{+1.01} \times 10^6 \text{ cm}^{-2} \text{s}^{-1} \longrightarrow \text{(SSM)}$$

Oscilace tří druhů neutrín

$$\begin{pmatrix} \nu_e \\ \nu_\mu \\ \nu_\tau \end{pmatrix} = \begin{pmatrix} 1 & 0 & 0 \\ 0 & \cos(\theta_{23}) & \sin(\theta_{23}) \\ 0 & -\sin(\theta_{23}) & \cos(\theta_{23}) \end{pmatrix} \cdot \begin{pmatrix} \cos(\theta_{13}) & 0 & \sin(\theta_{13}) \cdot e^{-i\delta} \\ 0 & 1 & 0 \\ -\sin(\theta_{13}) \cdot e^{i\delta} & 0 & \cos(\theta_{13}) \end{pmatrix} \cdot \begin{pmatrix} \nu_1 & 0 \\ 0 & \nu_2 \\ 0 & 1 \end{pmatrix}$$



**U elektronových neutrín
jsou změřeny oscilace s
dlouhou délkou**



**U mionových
neutrín jsou
změřeny oscilace s
krátkou délkou**

[..\vypocty\hierarchie\Oscilace3x3 very new.nb](#)

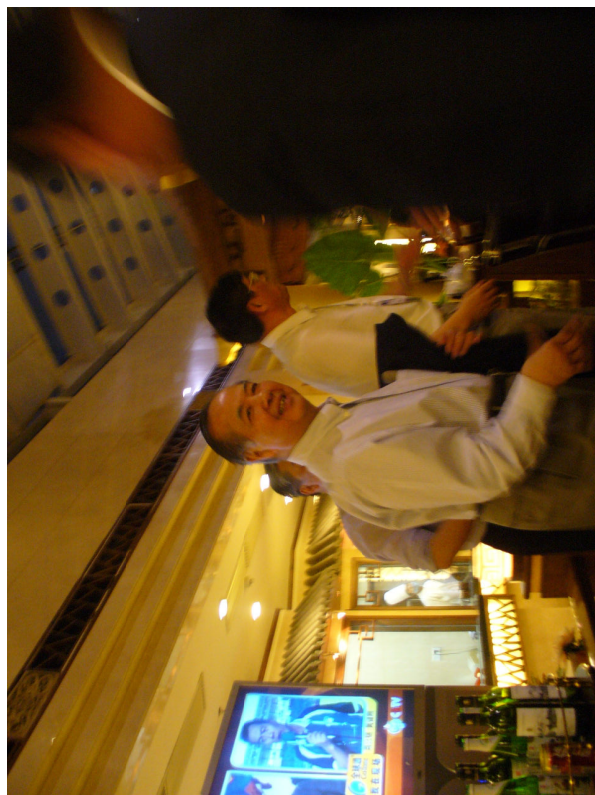
Oscilace mezi 3 druhy neutrín, současné experimentální hodnoty

$$\begin{pmatrix} \nu_e \\ \nu_\mu \\ \nu_\tau \end{pmatrix} = \begin{pmatrix} 1 & 0 & 0 \\ 0 & \cos(\theta_{23}) & \sin(\theta_{23}) \\ 0 & -\sin(\theta_{23}) & \cos(\theta_{23}) \end{pmatrix} \cdot \begin{pmatrix} \cos(\theta_{13}) & 0 & \sin(\theta_{13}) \cdot e^{-i\delta} \\ 0 & 1 & 0 \\ -\sin(\theta_{13}) \cdot e^{i\delta} & 0 & \cos(\theta_{13}) \end{pmatrix} \cdot \begin{pmatrix} \nu_1 \\ \nu_2 \\ \nu_3 \end{pmatrix}$$

$\sin^2(\theta_{12}) = 0.314 \cdot \begin{pmatrix} +0.18 \\ -0.15 \end{pmatrix} \Rightarrow \theta_{12} = 34.1^\circ + 3.4^\circ - 3.0^\circ$

$\sin^2(\theta_{23}) = 0.44 \cdot \begin{pmatrix} +0.41 \\ -0.21 \end{pmatrix} \Rightarrow \theta_{23} = 41.6^\circ + 10.3^\circ - 5.5^\circ$

$\sin^2(\theta_{13}) = \begin{pmatrix} 0.9 & +2.3 \\ -0.09 \end{pmatrix} \cdot 10^{-2} \Rightarrow \theta_{13} < 10.3^\circ$



Přibližně správný zapamatovatelný tvar:

$$\begin{pmatrix} \nu_e \\ \nu_\mu \\ \nu_\tau \end{pmatrix} \approx \begin{pmatrix} \sqrt{\frac{2}{3}} & \sqrt{\frac{1}{3}} & \sim 0 \\ -\sqrt{\frac{1}{6}} & \sqrt{\frac{1}{3}} & \sqrt{\frac{1}{2}} \\ \sqrt{\frac{1}{6}} & -\sqrt{\frac{1}{3}} & \sqrt{\frac{1}{2}} \end{pmatrix} \cdot \begin{pmatrix} \nu_1 \\ \nu_2 \\ \nu_3 \end{pmatrix}$$

0,05eV

Nejtěžší neutrino: $M(\nu) > 0,05\text{eV}$

Hlavní úkoly současných neutrinových oscilačních experimentů:

- Přesnější měření parametru oscilací
- Dokázat, že oscilace probíhají – neutrina jednoho typu se mění na jiný typ (tzv. appearing experimenty, hlavně mionová na tauonová neutrina).
- Změřit dosud neznámý parametr θ_{13}

Objevují se v oscilacích neutrín jiné vůně?

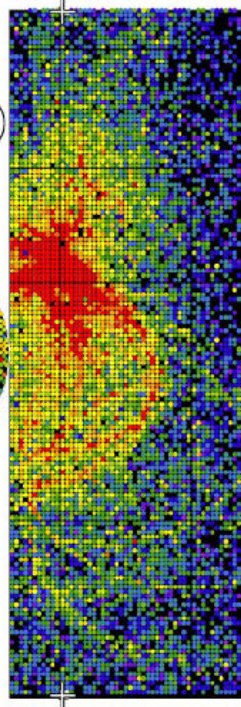
MC Tau Event

Super-Kamiokande

Run 99999 Sub 293 Ev 41
03-04-19; 02:49:18
Input: 9913 hits, 9,123.9E
Output: 2 hits, 1.20 (vis-time)
TrigID: 0000
D. snell-513.8.CS
Fully-connected mode

charge (pe)

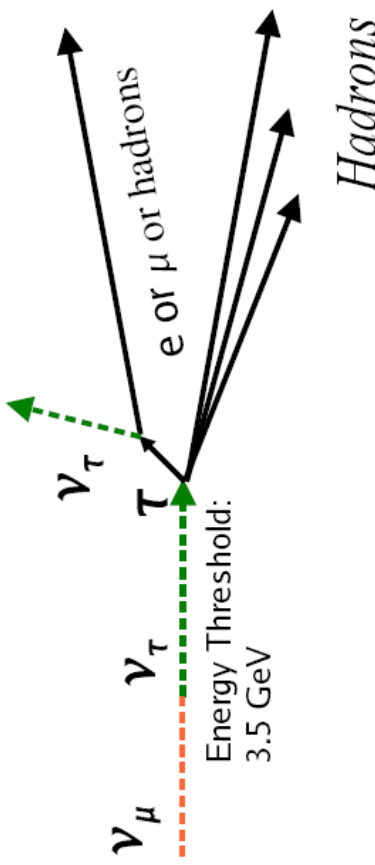
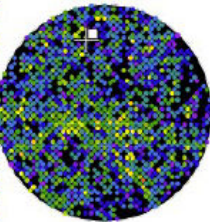
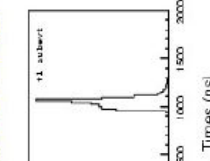
- >24.7
- 23.3-24.7
- 20.3-23.3
- 17.3-20.3
- 14.3-17.3
- 12.3-14.3
- 10.3-12.3
- 8.0-10.0
- 6.2-8.0
- 4.7-6.2
- 3.3-4.7
- 2.2-3.3
- 1.3-2.2
- 0.7-1.3
- 0.2-0.7
- < 0.2



MC Sets Used:

ta (1489 Days)

τ MC
Atmospheric MC



Method	ϵ_τ	Observed ν_τ events	Expected ν_τ events
LH	43.1%	$138 \pm 48(stat.)^{+14.8}_{-31.6}(sys.)$	$78.4 \pm 26(sys.)$
NN	39.0%	$134 \pm 48(stat.)^{+16.0}_{-27.2}(sys.)$	$78.4 \pm 27(sys.)$

Experiment OPERA v Gran Sasso

$$\nu_\mu \rightarrow \nu_\tau$$

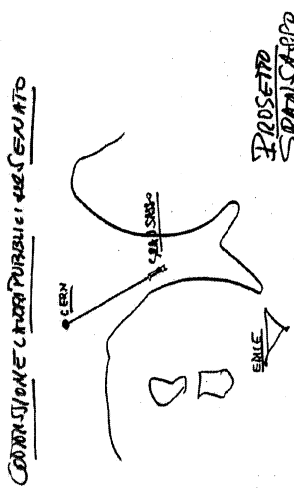
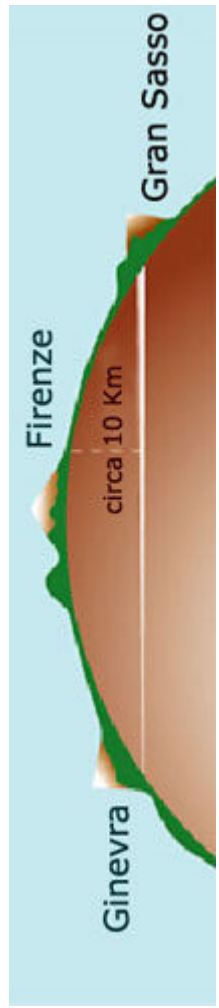
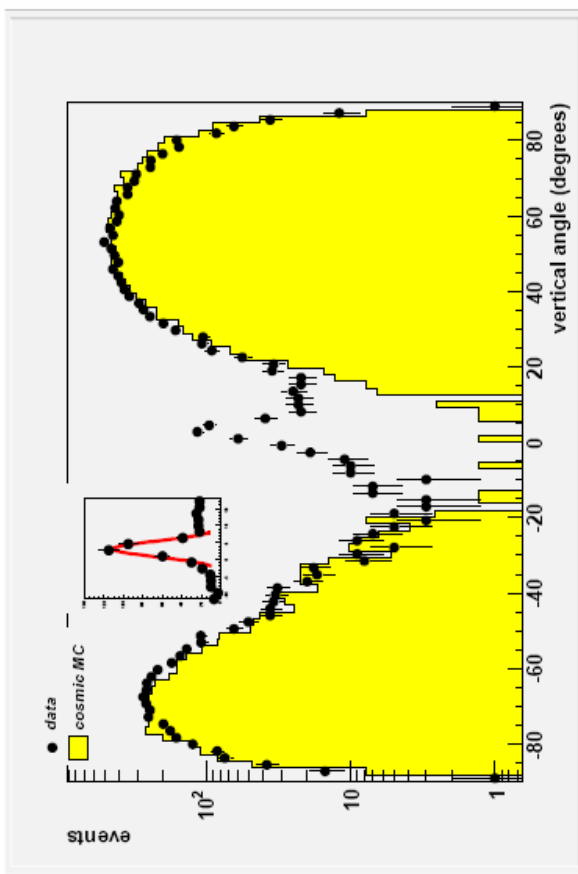
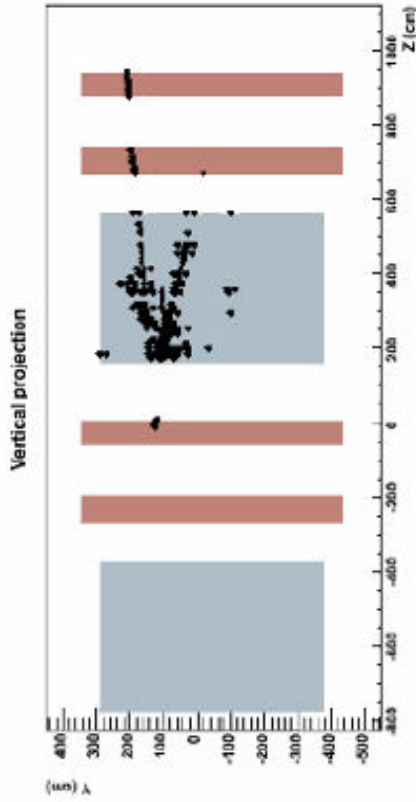
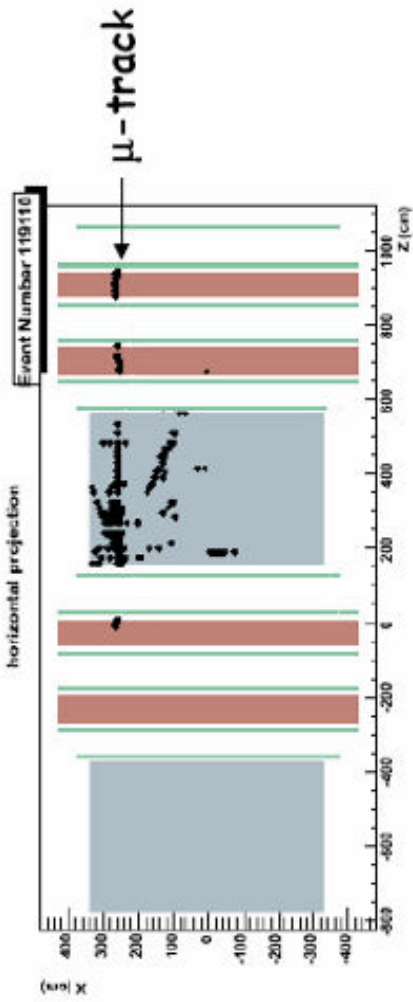
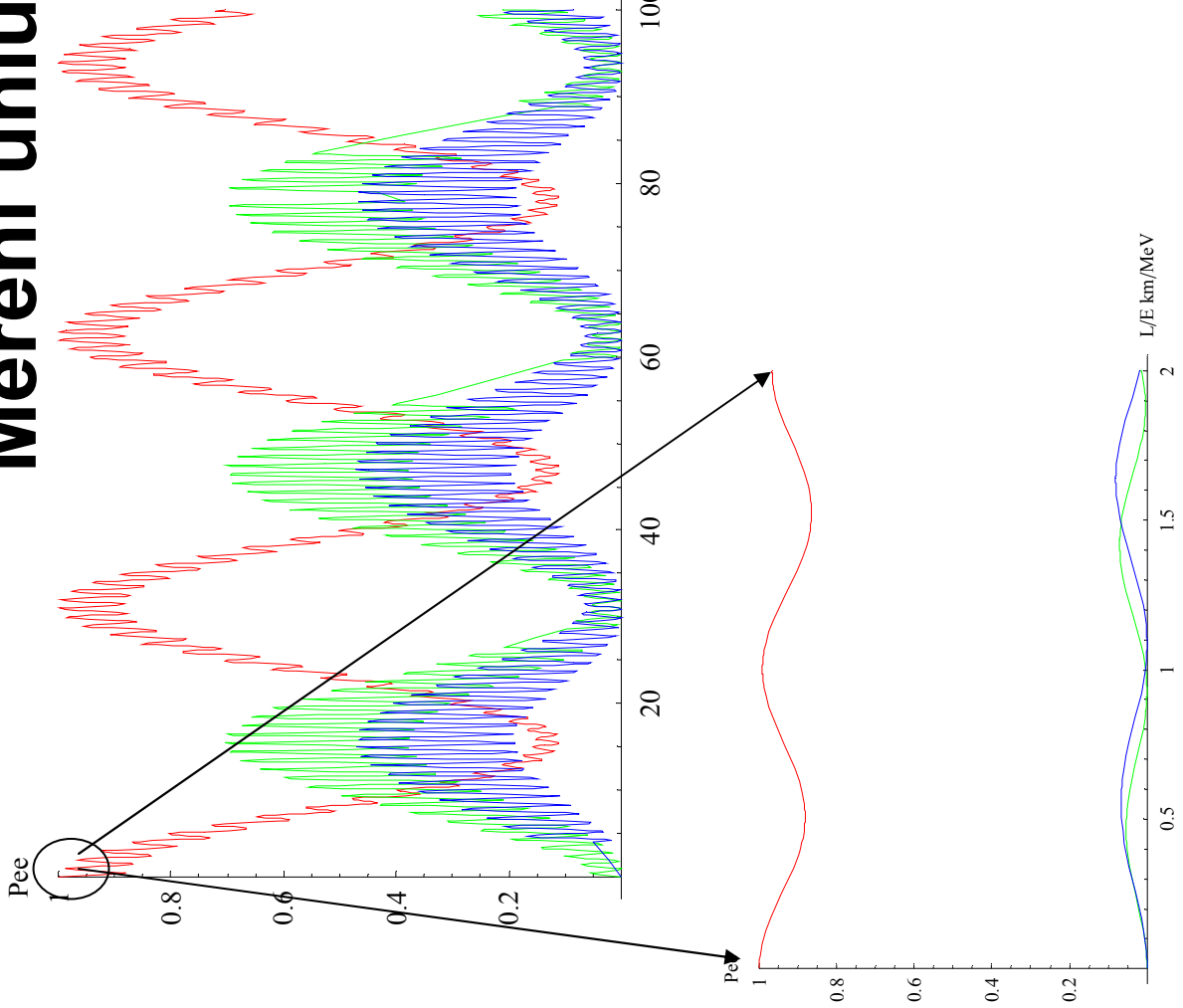


Figure 1.1.1: Sketch by A. Zichichi, 1979



R. Leitner F

Měření úhlu θ_{13}



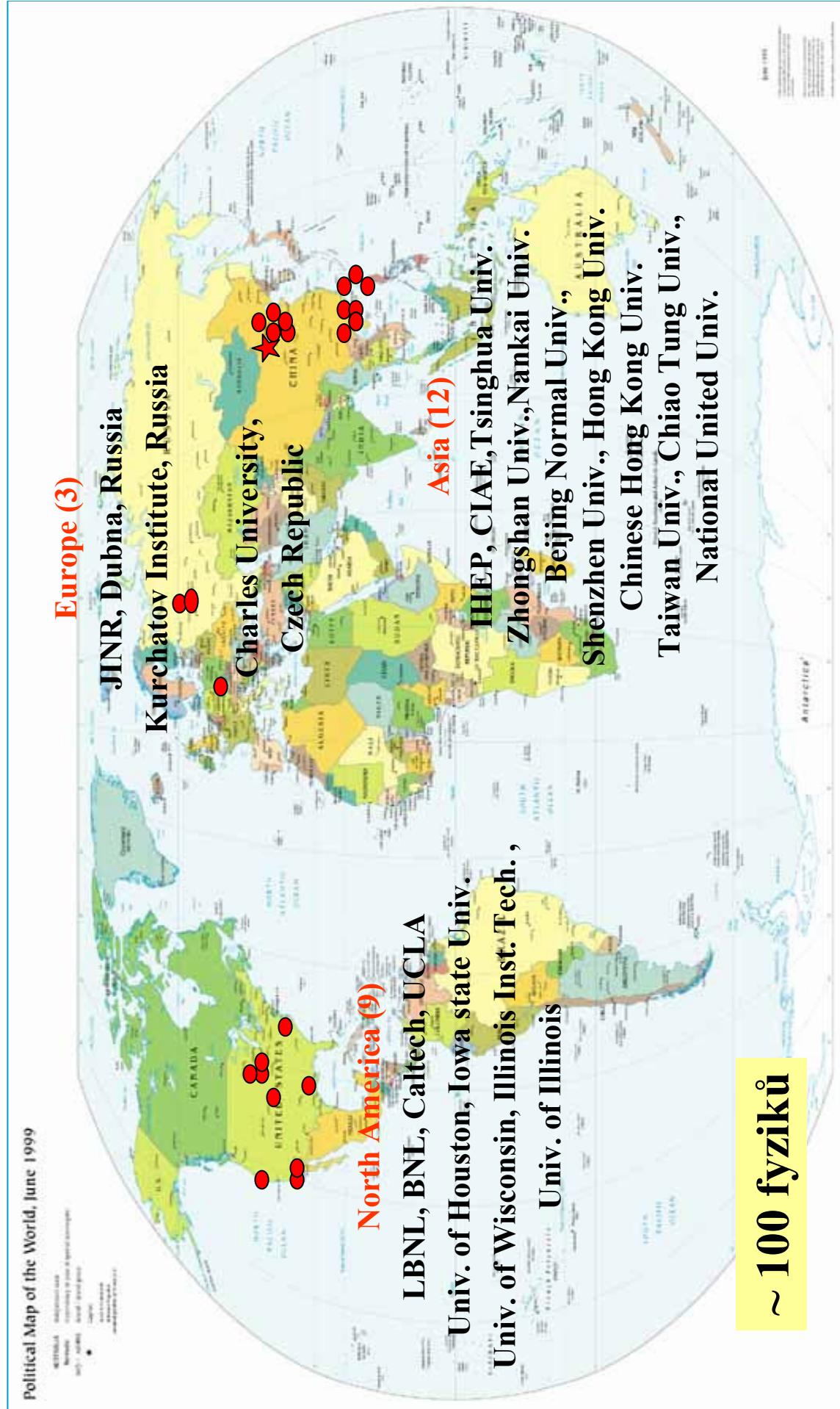
Kolik je elektronových
neutrín
ve stavu m3?

Neutrino experiment Daya Bay

- Úkolem je změřit $\sin^2 2\theta_{13}$ s přesností 0.01
- 4 jaderné reaktory, 2 další v roce 2011, celkový výkon 17.4 GW
- Hornatý povrch, tj. snadné stínění proti kosmickému záření



Daya Bay je mezinárodní experiment



Rozmístění jednotlivých detektorů

